

Jakub Kopański  
e-mail: J.Kopanski@imio.pw.edu.pl

Prowadzący:  
prof. dr hab. Stanisław Rosłonec

Projektowanie układów mikrofalowych (PUM)  
Projekt



# Spis treści

<b>Spis rysunków</b>	5
<b>1. Zadanie 1</b>	7
1.1. Treść	7
1.2. Rozwiązanie	7
<b>2. Zadanie 2</b>	9
2.1. Treść	9
2.2. Rozwiązanie	9
2.2.1. Rozwiązanie analityczne	10
2.2.2. Rozwiązanie numeryczne	10
<b>3. Zadanie 3</b>	11
3.1. Treść	11
3.2. Rozwiązanie	11
<b>4. Zadanie 4</b>	13
4.1. Treść	13
4.2. Rozwiązanie	13
4.2.1. Nieskończenie cienki przewód wewnętrzny	13
4.2.2. Przewód wewnętrzny o $t = 0.150 \text{ mm}$	14
<b>5. Zadanie 5</b>	15
5.1. Treść	15
5.2. Rozwiązanie	15
<b>6. Zadanie 6</b>	17
6.1. Treść	17
6.2. Rozwiązanie	17
6.2.1. Szerokość linii	17
6.2.2. Długość fali	18
<b>7. Zadanie 7</b>	19
7.1. Treść	19
7.2. Rozwiązanie	19
<b>8. Zadanie 8</b>	21
8.1. Treść	21
8.2. Rozwiązanie	21
<b>9. Zadanie 9</b>	23
9.1. Treść	23
9.2. Rozwiązanie	23
9.2.1. Dzielnik typu $T$	23
9.2.2. Dzielnik typu $\Pi$	24
<b>10. Zadanie 10</b>	25
10.1. Treść	25
10.2. Rozwiązanie	25
10.2.1. Transformator schodkowy	25
10.2.2. Transformator impedancji II klasy	26
<b>11. Zadanie 11</b>	27
11.1. Treść	27
11.2. Rozwiązanie	27
<b>12. Zadanie 12</b>	28
12.1. Treść	28

12.2. Rozwiązanie . . . . .	28
12.2.1. Projekt sprzęgacza . . . . .	28
12.2.2. Charakterystyka sprzęgacza . . . . .	29
<b>13.Zadanie 13</b> . . . . .	31
13.1. Treść . . . . .	31
13.2. Rozwiązanie . . . . .	31
13.2.1. Projekt sprzęgacza . . . . .	31
13.2.2. Charakterystyka sprzęgacza . . . . .	33
<b>14.Zadanie 14</b> . . . . .	34
14.1. Treść . . . . .	34
14.2. Rozwiązanie . . . . .	34
14.2.1. Projekt dzielnika . . . . .	34
14.2.2. Charakterystyki dzielnika . . . . .	35
<b>15.Zadanie 15</b> . . . . .	37
15.1. Treść . . . . .	37
15.2. Rozwiązanie . . . . .	37
15.2.1. Projekt dzielnika . . . . .	37
15.2.2. Charakterystyka sprzężenia dzielnika . . . . .	38
<b>16.Zadanie 16</b> . . . . .	39
16.1. Treść . . . . .	39
16.2. Rozwiązanie . . . . .	40
<b>17.Zadanie 17</b> . . . . .	41
17.1. Treść . . . . .	41
17.2. Rozwiązanie . . . . .	42
<b>A. Kody użytych funkcji</b> . . . . .	43
A.1. pum/lines.py . . . . .	43
A.2. pum/fdm.py . . . . .	44
A.3. pum/algorithms.py . . . . .	47
<b>Bibliografia</b> . . . . .	50

# Spis rysunków

1.1	Przekrój przez linie współosiową oraz symbole jej parametrów . . . . .	7
2.1	Linie z przesuniętym przewodem wewnętrznym . . . . .	9
3.1	Linia cylindryczno-płaska . . . . .	11
4.1	Symetryczna linia paskowa . . . . .	13
4.2	Rozkład potencjału w symetrycznej linii paskowej . . . . .	14
5.1	Linia rozważana w zadaniu 5 . . . . .	15
5.2	Rozkład potencjału w linii współosiowej z kwadratowymi przewodami . . . . .	16
6.1	Niesymetryczna linia paskowa . . . . .	17
7.1	Linie cylindryczno-płaskie sprzężone . . . . .	19
8.1	Symetryczne linie paskowe . . . . .	21
11.1	Jednosekcyjny sprzęgacz zbliżeniowy . . . . .	27
12.1	Schemat elektryczny sprzęgacza . . . . .	28
12.2	Realizacja sprzęgacza z niesymetrycznych linii paskowych . . . . .	28
12.3	Charakterystyka częstotliwościowa sprzęgacza . . . . .	30
13.1	Schemat elektryczny sprzęgacza pierścieniowego . . . . .	31
13.2	Realizacja sprzęgacza z niesymetrycznych linii paskowych . . . . .	32
13.3	Charakterystyka częstotliwościowa sprzęgacza . . . . .	33
14.1	Schemat elektryczny dzielnika . . . . .	34
14.2	Charakterystyka izolacji dzielnika . . . . .	35
14.3	WFS na wejściu dzielnika . . . . .	36
15.1	Zarys konstrukcyjny projektowanego dzielnika . . . . .	37
15.2	Charakterystyka sprzężenia dzielnika . . . . .	38
16.1	Charakterystyka projektowanego filtra . . . . .	39
16.2	Realizacja filtra przy użyciu linii współosiowej . . . . .	39
17.1	Charakterystyka projektowanego filtra . . . . .	41
17.2	Realizacja filtra przy użyciu symetrycznej linii paskowej . . . . .	41

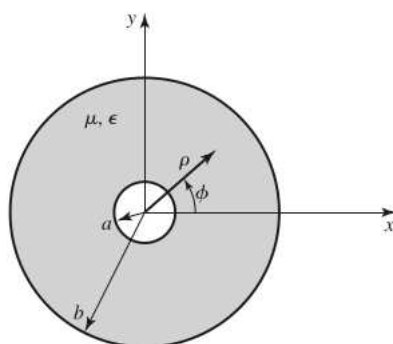


# 1. Zadanie 1

## 1.1. Treść

Udowodnić, że powietrzna linia współosiowa o stosunku promieni przewodów zewnętrznego do wewnętrznego równym  $\sqrt{\epsilon} = 1.648721271 \dots$  może przenosić falę elektromagnetyczną o największej mocy. Zadana wielkością jest maksymalne natężenie pola elektrycznego, przy którym następuje przebicie elektryczne wypełniającego linię powietrza.

## 1.2. Rozwiązanie



Rysunek 1.1: Przekrój przez linie współosiową oraz symbole jej parametrów

Współosiową linię transmisyjną pokazano na rysunku 1.1. W treści zadania powiedziano, że mamy do czynienia z linią powietrzną więc  $\epsilon = \epsilon_0$  oraz  $\mu = \mu_0$ . Moc fali przenoszonej przez linię jest równa:

$$P = \oint_S \vec{E}(x, y) \times \vec{H}(x, y) \, ds \quad (1.1)$$

Ponieważ wyrażenia na pole elektryczne i magnetyczne w kartezjańskim układzie współrzędnych byłyby bardzo skomplikowane, należy zmienić układ współrzędnych na polarny:

$$P = \frac{1}{2} \int_0^{2\pi} \int_a^b \vec{E}(\rho, \phi) \cdot \vec{H}(\rho, \phi) \rho \, d\rho d\phi \quad (1.2)$$

Pole elektryczne i magnetyczne mają postać:

$$\vec{E}(\rho) = \frac{U_0 \hat{\rho}}{\rho \ln \frac{b}{a}} \quad (1.3)$$

$$\vec{H}(\phi) = \frac{\vec{E}(\rho) \hat{\phi}}{\eta_0} \quad (1.4)$$

gdzie:

$\hat{\rho}$  - wektor w kierunku  $\rho$ ,

$\hat{\phi}$  - wektor w kierunku  $\phi$ ,

$\xi_0 = \sqrt{\frac{\mu_0}{\epsilon_0}}$  - impedancja falowa linii.

Możemy teraz policzyć moc fali przenoszanej przez linie:

$$\begin{aligned}
P &= \frac{1}{2} \int_0^{2\pi} \int_a^b \bar{E}(\rho, \phi) \cdot \bar{H}(\rho, \phi) \rho \, d\rho d\phi \\
&= \frac{1}{2} \int_0^{2\pi} \int_a^b \frac{1}{\xi_0} \frac{U_0^2}{\rho^2 \ln^2 \frac{b}{a}} \rho \, d\rho d\phi \\
&= \frac{1}{2} \int_0^{2\pi} \int_a^b \frac{1}{\xi_0} \frac{U_0^2}{\rho \ln^2 \frac{b}{a}} \, d\rho d\phi \\
&= \frac{1}{2} \frac{1}{\xi_0} \frac{U_0^2}{\ln^2 \frac{b}{a}} \int_0^{2\pi} \int_a^b \frac{1}{\rho} \, d\rho d\phi \\
&= \frac{1}{2} \frac{1}{\xi_0} \frac{U_0^2}{\ln^2 \frac{b}{a}} \int_0^{2\pi} \ln |\rho| \Big|_a^b \, d\phi \\
&= \frac{1}{2} \frac{1}{\xi_0} \frac{U_0^2}{\ln^2 \frac{b}{a}} \ln \frac{b}{a} \int_0^{2\pi} 1 \, d\phi \\
&= \frac{1}{2} \frac{1}{\xi_0} \frac{U_0^2}{\ln \frac{b}{a}} \phi \Big|_0^{2\pi} \\
&= \frac{2\pi}{\xi_0} \frac{U_0^2}{\ln \frac{b}{a}}
\end{aligned} \tag{1.5}$$

Korzystając z zależności:

$$U_0 = E_{max} \cdot a \ln \frac{b}{a} \tag{1.6}$$

można wyznaczyć moc fali propagującej się w linii w zależności od maksymalnego natężenia pola elektromagnetycznego ( $E_{max}$ ). Podstawiając 1.6 do 1.5 otrzymujemy się:

$$\begin{aligned}
P &= \frac{2\pi}{\xi_0} \frac{E_{max}^2 \cdot a^2 \ln^2 \frac{b}{a}}{\ln \frac{b}{a}} \\
&= \frac{2\pi}{\sqrt{\frac{\mu_0}{\epsilon_0}}} E_{max}^2 \cdot a^2 \ln \frac{b}{a} \\
&= 2\pi \underbrace{\sqrt{\frac{\epsilon_0}{\mu_0}} E_{max}^2}_{K} \cdot a^2 \ln \frac{b}{a} \\
&= K \cdot a^2 \ln \frac{b}{a}
\end{aligned} \tag{1.7}$$

$K$  we wzorze 1.7 jest stałe, zależne tylko od podanego w zadaniu maksymalnego natężenia pola.

Moc fali propagującej się w linii będzie maksymalna gdy pochodna mocy określonej wzorem 1.7 ( $\frac{dP(a)}{da}$ ) będzie równa 0.

$$\begin{aligned}
\frac{dP(a)}{da} &= K \cdot 2a \ln \frac{b}{a} + K \cdot a^2 \left(-\frac{1}{a}\right) \\
&= Ka \left[2 \ln \frac{b}{a} - 1\right]
\end{aligned} \tag{1.8}$$

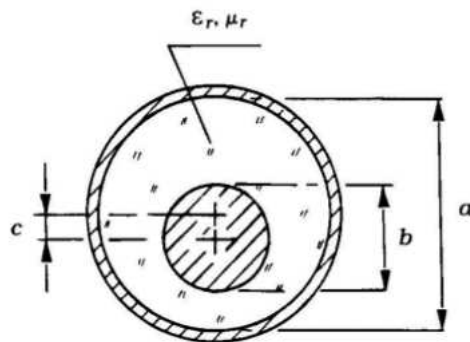
Wyrażenie 1.8 jest równe 0 gdy  $2 \ln \frac{b}{a} - 1 = 0$ . Co z kolei przekłada się na warunek  $\ln \frac{b}{a} = \frac{1}{2}$ , który jest spełniony gdy  $\frac{b}{a} = \sqrt{e}$ , co należało dowieść.



## 2. Zadanie 2

### 2.1. Treść

Dana jest powietrzna linia współosiowa o średnicach przewodów  $a = 7 \text{ mm}$  i  $b = 3.04 \text{ mm}$ , patrz rys. 2.1. O ile należy przesunąć przewód wewnętrzny względem przewodu zewnętrznego ( $c = ?$ ) aby jej impedancja charakterystyczna zmieniła się o  $5 \Omega$ .



Rysunek 2.1: Linie z przesuniętym przewodem wewnętrznym

### 2.2. Rozwiązanie

Impedancja linii ekscentrycznej jest określona wzorem:

$$Z_0(x) = 59.952 \sqrt{\frac{\mu_r}{\epsilon_r}} \ln(x + \sqrt{x^2 - 1}) \quad (2.1)$$

$$x = \frac{1}{2a} \left( b + \frac{a^2 - 4c^2}{b} \right) \quad (2.2)$$

Dla  $c = 0$  mamy:

$$Z_0(x) \Big|_{c=0} = 59.952 \sqrt{\frac{\mu_r}{\epsilon_r}} \ln \frac{a}{b} \quad (2.3)$$

Jest to zależność przybliżona. Dokładny wzór na impedancję linii współosiowej ma postać:

$$Z_0 = \frac{1}{2\pi} \sqrt{\frac{\mu}{\epsilon}} \ln \frac{a}{b} \quad (2.4)$$

Porównując podane wyżej zależności dla  $c = 0$  mamy:

wzór dokładny : 50.0085378279

wzór przybliżony : 50.0031234918

co dają błąd równy 0.01%.

Zadanie można rozwiązać na 2 sposoby: analitycznie i numerycznie. kolejne zadania będzie można rozwiązać już tylko numerycznie więc porównując rozwiązanie analityczne i numeryczne zadania 2 można przetestować zaprogramowaną metodę newtona.

### 2.2.1. Rozwiązanie analityczne

Równanie z jakie należy rozwiązać to

$$\underbrace{59.952 \sqrt{\frac{\mu_r}{\epsilon_r}} \ln(x + \sqrt{x^2 - 1})}_k = \underbrace{\frac{1}{2\pi} \sqrt{\frac{\mu}{\epsilon}} \ln \frac{a}{b} - 5}_d \quad (2.5)$$

$$\ln(x + \sqrt{x^2 - 1}) = \frac{d}{k} \quad (2.6)$$

Kluczowe jest spostrzeżenie, że  $\operatorname{arch} x = \ln(x + \sqrt{x^2 - 1})$ . Biorąc cosinus hiperboliczny obu stron równania mamy

$$\operatorname{ch}(\operatorname{arch}(x)) = \operatorname{ch} \frac{d}{k} \quad (2.7)$$

$$x = \frac{1}{2} (e^{\frac{d}{k}} + e^{-\frac{d}{k}}) \quad (2.8)$$

Otrzymane  $x$  należy podstawić do wzoru 2.2. Po kilku przekształceniach otrzymujemy się zależność:

$$c = \sqrt{\left(a^2 - ab 2 \operatorname{ch} \frac{d}{k} + b^2\right)} / 4 \quad (2.9)$$

Podstawiając dane z treści zadania otrzymujemy się przesunięcie  $c = 0.882307292061 \text{ mm}$ .

### 2.2.2. Rozwiązanie numeryczne

W celu znalezienia wymaganego przesunięcia, należy znaleźć wartość  $x$  przy którym impedancja spełnia warunek:

$$Z_0(x) \Big|_{c=?} = Z_0(x) \Big|_{c=0} - 5 \quad (2.10)$$

$$Z_0(x) \Big|_{c=?} - Z_0(x) \Big|_{c=0} + 5 = 0 \quad (2.11)$$

a następnie znając  $x$  wyznaczyć  $c$ . Oczywiście stosując rozwiązania numeryczne nie trzeba stosować się do kolejności wyznaczania (tzn. najpierw  $x$  a potem  $c$ ). Dysponując funkcjami wyznaczającymi wartość impedancji można odnaleźć od razu  $c$ .

Wynik rozwiązany za pomocą zaprogramowanego algorytmu Newtona-Raphsona wynosi:

$$c_{\text{numeryczne}} = 0.882307221883 \text{ mm}$$

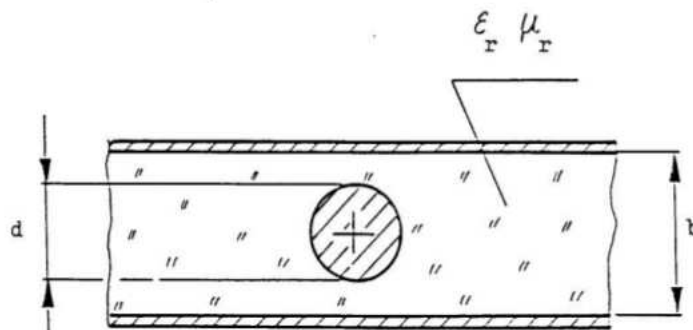
$$c_{\text{analityczne}} = 0.882307292061 \text{ mm}$$

różnica pomiędzy wynikami wynosi  $8.12217580519e - 11$ , co jest zgodne z przyjętym kryterium zatrzymania pracy algorytmu na poziomie  $1e - 10$ .

### 3. Zadanie 3

#### 3.1. Treść

Zaprojektować powietrzną linię cylindryczno-płaską o przekroju poprzecznym jak na rys. 3.1 zakładając, że jej impedancja charakterystyczna jest równa  $Z_0 = 30 \Omega$ . Odległość pomiędzy równoległymi przewodzącymi płaszczyznami tej linii jest równa  $b = 9 \text{ mm}$ . O ile zmieni się impedancja charakterystyczna tej linii (zaprojektowanej) po wypełnieniu jej bezstratnym dielektrykiem o  $\epsilon_r = 2.04$  i  $\mu_r = 1$ .



Rysunek 3.1: Linia cylindryczno-płaska

#### 3.2. Rozwiązanie

Impedancja charakterystyczna linii cylindryczno-płaskiej wyraża się wzorem:

$$Z_0\left(\frac{d}{b}\right) = 59.952 \sqrt{\frac{\mu_r}{\epsilon_r}} \left( \ln \frac{\sqrt{x} + \sqrt{y}}{\sqrt{x} - \sqrt{y}} - \frac{R^4}{30} + 0.014R^8 \right), \quad (3.1)$$

gdzie:

$$R = \frac{\pi d}{4 b} \quad (3.2)$$

$$x = 1 + 2 \operatorname{sh}^2(R) \quad (3.3)$$

$$y = 1 - 2 \sin^2(R) \quad (3.4)$$

Zależność impedancji od wymiarów linii jest znacznie bardziej złożona niż w przypadku linii z zadania 2. Dlatego w tym przypadku nie można znaleźć rozwiązania w sposób analityczny. W celu określenia wymiarów linii należy rozwiązać równanie:

$$Z_0\left(\frac{d}{b}\right) \Big|_{d=9 \text{ mm}} - 30 \Omega = 0 \quad (3.5)$$

Do znalezienia rozwiązania użyto zaprogramowanego poprzednio algorytmu Newtona-Raphsona.

Otrzymano następujące wyniki:

$$d = 6.73875214859 \text{ mm} \quad (3.6)$$

$$Z_0 = 30.0 \, \Omega \quad (3.7)$$

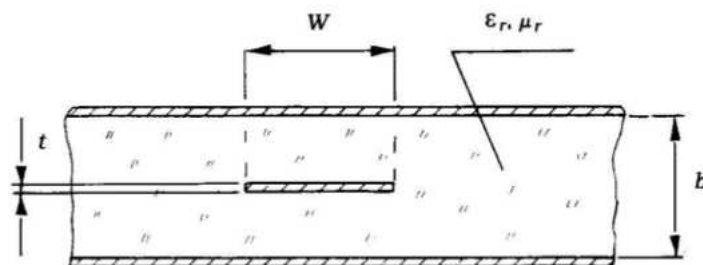
W celu odpowiedzi na drugie pytanie należy policzyć impedancje linii korzystając ze wzoru 3.1. Jednak zamiast  $\mu_r = 1$  i  $\epsilon_r = 1$ , podstawić wartości określone w treści zadania. Uzyskana w ten sposób wartość impedancji wynosi  $Z_0 = 21.0042012604 \, \Omega$ . Zmieni się ona zatem o  $-8.99579873958 \, \Omega$ .

Zmiana impedancji wynika też bezpośrednio ze wzoru 3.1. Po wstawieniu dielektryka nowa wartość impedancji wyniesie  $Z_0 \times \sqrt{\mu_r}$ .

## 4. Zadanie 4

### 4.1. Treść

Zaprojektować symetryczną linię paskową, rys. 4.1, o impedancji charakterystycznej  $Z_0 = 50 \Omega$ . Podłoże linii stanowi dielektryk o  $\epsilon_r = 2.56$ ,  $\mu_r = 1$  i grubości  $b = 2.8 \text{ mm}$ . Obliczenia wykonać, przy założeniu, że grubość przewodu wewnętrznego  $t = 0 \text{ mm}$ . Metodą różnic skończonych obliczyć impedancję charakterystyczną tej linii przyjmując, że przewód wewnętrzny  $t = 0.150 \text{ mm}$ .



Rysunek 4.1: Symetryczna linia paskowa

### 4.2. Rozwiązanie

#### 4.2.1. Nieskończenie cienki przewód wewnętrzny

Impedancja charakterystyczna symetrycznej linii paskowej wyraża się wzorem:

$$Z_0(k) = 29.976\pi \sqrt{\frac{\mu_r}{\epsilon_r}} \frac{K(k)}{K'(k)} \quad (4.1)$$

gdzie:

$$k = \frac{1}{\text{ch}\left(\frac{\pi w}{2b}\right)} \quad (4.2)$$

przy założeniu nieskończenie cienkiego paska ( $t = 0 \text{ mm}$ ). Z równania 4.2 można wyznaczyć szerokość paska:

$$w = \frac{2b}{\pi} \ln\left(\frac{1}{k} + \sqrt{\frac{1}{k^2} - 1}\right) \quad (4.3)$$

która to tworzy linie o impedancji  $Z_0$ .

W pierwszym kroku z równania 4.1 można wyznaczyć stosunek całek eliptycznych  $\frac{K(k)}{K'(k)}$ :

$$\frac{K(k)}{K'(k)} = \frac{Z_0}{29.976\pi} \sqrt{\frac{\epsilon_r}{\mu_r}}. \quad (4.4)$$

Następnie można wyznaczyć stałą modularną  $q$ :

$$q = e^{-\pi \frac{K'(k)}{K(k)}}. \quad (4.5)$$

Stała modularna z równania 4.5 pozwala wyznaczyć wartość szeregów:

$$N = \sum_{i=1}^{\infty} q^{i \times (i-1)}, \quad (4.6)$$

$$D = 0.5 + \sum_{i=1}^{\infty} q^{i \times i}. \quad (4.7)$$

Szeregi 4.6 i 4.7 są szybko zbieżne i wystarczy już kilka pierwszych wyrazów aby uzyskać dobrą dokładność. W programie obliczanie wartości  $N$  oraz  $D$  zatrzymuję się automatycznie gdy osiągnięta została dokładność, która jest podawana jako parametr funkcji.

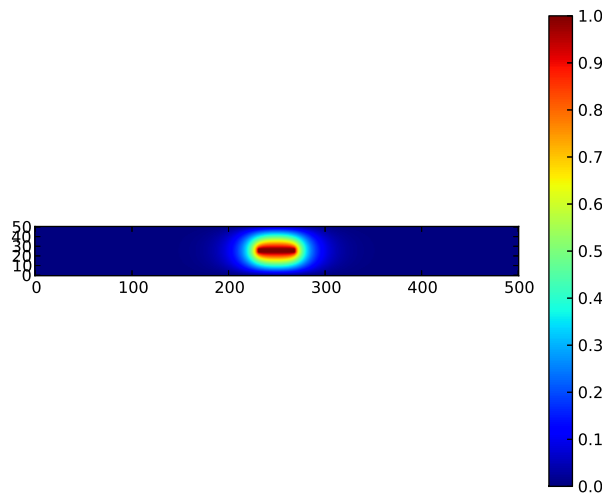
Korzystając z wyznaczonych wartości można obliczyć moduł  $k$ :

$$k = \sqrt{q} \left( \frac{N}{D} \right)^2. \quad (4.8)$$

Podstawiając wartość do równania 4.3 można obliczyć wymaganą szerokość paska. Dla danych podanych w treści zadania wymagana wartość  $w = 2.06265925327 \text{ mm}$ .

#### 4.2.2. Przewód wewnętrzny o $t = 0.150 \text{ mm}$

W celu obliczenia dokładniejszej wartości impedancji skorzystano z metody różnic skończonych. W tym celu należy wyznaczyć rozkład potencjału w linii. Wykorzystano w tym celu algorytm Liebmanna opisany w [1]. Wynik został przedstawiony na rys. 4.2.



Rysunek 4.2: Rozkład potencjału w symetrycznej linii paskowej

Mając dany rozkład potencjału możemy obliczyć impedancję linii:

$$Z_0 = \sqrt{\frac{\mu}{\epsilon}} \frac{U}{\oint_{S_2} E_n ds} \quad (4.9)$$

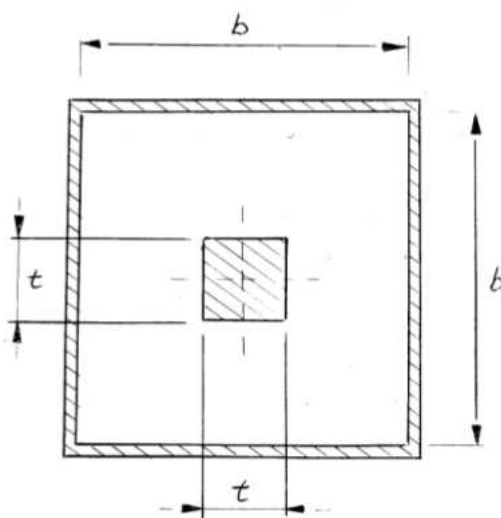
gdzie  $U$  to napięcie pomiędzy przewodem wewnętrznym a zewnętrznym,  $E_n$  to składowa normalna natężenia pola elektrycznego określona na linii brzegowej  $S_2$  przewodu zewnętrznego.

W wyniku symulacji uzyskano impedancję równą  $Z_0 = 45.2925852199 \Omega$ , dla przewodu o wymiarach określonych w sekcji 4.2.1. Daje to różnicę równą  $4.70741478 \Omega$  od wymaganych  $50 \Omega$ .

## 5. Zadanie 5

### 5.1. Treść

Wykorzystując oprogramowanie napisane do rozwiązania zadania 4 wyznaczyć impedancję charakterystyczną powietrznej linii TEM o przekroju poprzecznym jak na rys. 5.1, przyjmując  $b = 8 \text{ mm}$  i  $t = 4 \text{ mm}$ . Wynik otrzymany numerycznie porównać z wynikiem obliczonym według odpowiednich, przybliżonych wzorów wykorzystujących całki eliptyczne.

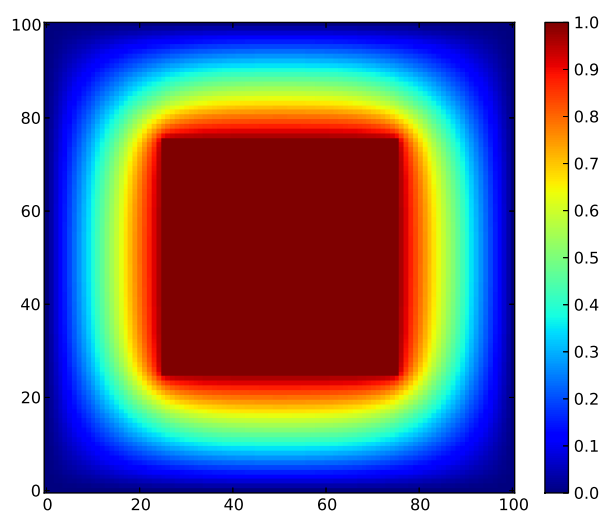


Rysunek 5.1: Linia rozważana w zadaniu 5

### 5.2. Rozwiązanie

Impedancja linii została wyznaczona w sposób opisany w sekcji 4.2.2. Dla linii określonej w niniejszym zadaniu wynosi ona  $Z_0 = 36.7605605644 \Omega$ .

Impedancja obliczona według przybliżonego wzoru opartego o całki eliptyczne wynosi  $Z_0 = 36.807171466 \Omega$ . Jest to wynik bardzo bliski uzyskanemu za pomocą metody różnic skończonych.



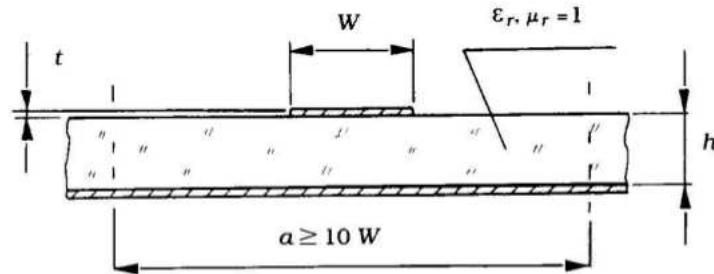
Rysunek 5.2: Rozkład potencjału w linii współosiowej z kwadratowymi przewodami



## 6. Zadanie 6

### 6.1. Treść

Zaprojektować niesymetryczną linię paskową, rys 6.1, o impedancji charakterystycznej  $Z_0 = 50 \Omega$ . Podłoże linii stanowi dielektryk o  $\epsilon_r = 2.56$ ,  $\mu_r = 1$  i grubości  $h = 1.4 \text{ mm}$ . Obliczenia wykonać, przy założeniu, że grubość przewodu wewnętrznego  $t = 0.0035 \text{ mm}$ . Obliczyć długość fali w tak zaprojektowanej linii wiedząc, że jej częstotliwość  $f = 1.5 \text{ GHz}$ .



Rysunek 6.1: Niesymetryczna linia paskowa

### 6.2. Rozwiązanie

#### 6.2.1. Szerokość linii

Niesymetryczna linia paskowa, ze względu na niezwykle łatwe i tanie wytwarzanie, jest jedną z najpopularniejszych przewodnic falowych. Pomimo swojej popularności ciągle nie są znane analityczne zależności projektowe. Dlatego na potrzeby projektu posłużono się wzorami zawartymi w [2].

Rozwiązanie zadania polega na znalezieniu szerokości paska, jaki będzie tworzył linie o wymaganej impedancji. W tym celu należy numerycznie rozwiązać równanie:

$$Z_0(u, f) - Z_0 = 0 \quad (6.1)$$

gdzie:

$Z_0$  - wymagana impedancja

$u = \frac{W}{h}$  - stosunek od którego zależy impedancja

$f$  - częstotliwość pracy

Impedancje linii oblicza się wzorem:

$$Z_0(u, f) = \frac{60}{\sqrt{\epsilon_{ef}(f)}} \ln \left[ \frac{f(u)}{u} + \sqrt{1 + \left( \frac{2}{u} \right)^2} \right] \quad (6.2)$$

Pomocnicze równania niezbędne do obliczenia impedancji zawarte są w [2].

Należy zwrócić uwagę na to, że wzór 6.2 jest słuszny w przypadku gdy przewód wewnętrzny jest nieskończenie cienki  $t = 0$ . Gdy chcemy uwzględnić grubość paska należy od  $u$  dla którego równanie 6.1 jest spełnione odjąć poprawkę:

$$\Delta u = \frac{t}{2\pi h} \ln \left( 1 + \frac{4eh}{t \operatorname{cth}^2 \sqrt{6.517u}} \right) \left( 1 + \frac{1}{\operatorname{ch} \sqrt{\epsilon_r - 1}} \right) \quad (6.3)$$

Uwzględniając to wszystko zadanie rozwiązano korzystając z algorytmu Newtona-Raphsona napisanego dla poprzednich zadań. Wartość szerokości paska  $w$  dla którego impedancja wynosi  $50 \Omega$  wynosi  $w = 3.90022750273 \text{ mm}$ .

### 6.2.2. Długość fali

Pole elektromagnetyczne w niesymetrycznej linii paskowej rozchodzi się, częściowo poprzez dielektryk a częściowo w powietrzu. Dlatego należy obliczyć efektywną przenikalność dielektryczną:

$$\epsilon_{eff}(u, f) = \frac{\epsilon_{eff}(u, 0) + \epsilon_r p(u, f)}{1 + p(u, f)} \quad (6.4)$$

$$\epsilon_{eff}(u, 0) = \frac{\epsilon_r + 1}{2} + \frac{\epsilon_r - 1}{2} \left( 1 + \frac{10}{u} \right)^{-a(u) \times b(\epsilon_r)} \quad (6.5)$$

Mając obliczoną efektywną przenikalność elektryczną można obliczyć długość fali rozchodzącej się w linii.

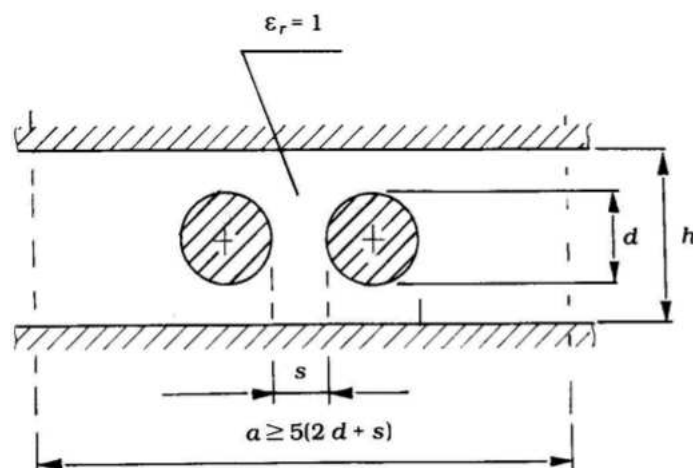
$$\lambda = \frac{c_{osr}}{f} = \frac{c}{\sqrt{\epsilon_{eff}} \times f} \quad (6.6)$$

Dla wartości określonych w treści zadania długość fali rozchodzącej się w zaprojektowanej linii wynosi:  $\lambda = 13.6746810073 \text{ cm}$ .

## 7. Zadanie 7

### 7.1. Treść

Zaprojektować powietrzne cylindryczno-płaskie linie sprzężone dla następujących danych:  $Z_{0e} = 60 \Omega$ ,  $Z_{0o} = 40 \Omega$ . Obliczenia wykonać przy założeniu, że odległość pomiędzy dwoma zewnętrznymi płaszczyznami przewodzącymi jest równa  $h = 8 \text{ mm}$ , rys. 7.1.



Rysunek 7.1: Lnie cylindryczno-płaskie sprzężone

### 7.2. Rozwiązanie

Impedancje charakterystyczne powietrznych linii cylindryczno-płaskich, przy pobudzeniu synfazowym  $Z_{0e}$  i przeciwfazowym  $Z_{0o}$  określone są wzorami:

$$Z_{0e}(x, y) = 59.952 \ln \left( \frac{0.523962}{f_1(x)f_2(x, y)f_3(x, y)} \right) \quad (7.1)$$

$$Z_{0o}(x, y) = 59.952 \ln \left( \frac{0.523962 f_3(x, y)}{f_1(x)f_4(x, y)} \right) \quad (7.2)$$

gdzie:

$f_{(1/2/3/4)}$  - funkcje opisane w [2],

$x = \frac{d}{h}$  - stosunek średnicy przewodu do odstępów między płaszczyznami,

$y = \frac{s}{h}$  - stosunek odstępów między przewodami do odstępów między płaszczyznami.

Projektowanie linii sprowadza się do znalezienia takich  $x$  i  $y$  dla których spełnione są równania:

$$V1(x, y) = Z_{0e}(x, y) - Z_{0e} = 0 \quad (7.3)$$

$$V2(x, y) = Z_{0o}(x, y) - Z_{0o} = 0 \quad (7.4)$$

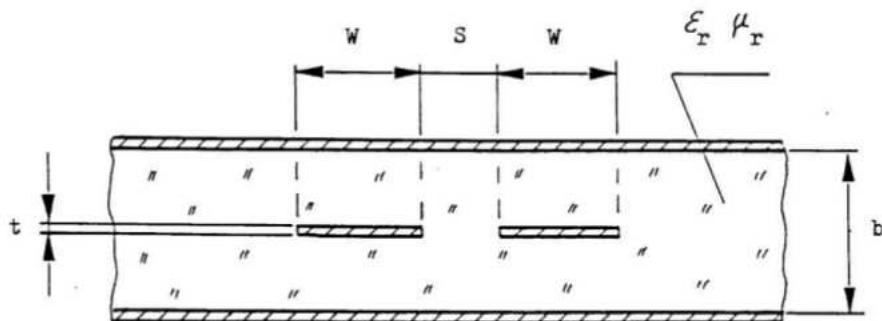
a finalnie  $s$  i  $d$ .

Implementując metodę Newtona linia spełniająca wymagania postawione w treści zadania ma wymiary:  $s = 1.97191812203 \text{ mm}$  i  $d = 4.25688390818 \text{ mm}$ .

## 8. Zadanie 8

### 8.1. Treść

Zaprojektować symetryczne linie paskowe sprzężone dla następujących danych o przekroju poprzecznym jak na rys. 8.1. Obliczenia wykonać dla  $Z_{0e} = 60 \Omega$ ,  $Z_{0o} = 40 \Omega$  przy założeniu, że podłoże linii stanowi dielektryk o  $\epsilon_r = 2.56$ ,  $\mu_r = 1$  i grubości  $b = 2.8 \text{ mm}$ . W trakcie obliczeń przyjąć, że grubość przewodów wewnętrznych  $t \approx 0 \text{ mm}$ .



Rysunek 8.1: Symetryczne linie paskowe

### 8.2. Rozwiązanie

Impedancje charakterystyczne symetrycznych sprzężonych linii paskowych wynoszą:

$$Z_{0e} = 29.976\pi \sqrt{\frac{\mu_r}{\epsilon_r}} \frac{K'(ke)}{K(ke)} \quad (8.1)$$

$$Z_{0o} = 29.976\pi \sqrt{\frac{\mu_r}{\epsilon_r}} \frac{K'(ko)}{K(ko)} \quad (8.2)$$

Powyższe wzory są słuszne gdy  $t \ll b$ , co jest spełnione dla  $t \approx 0$  określonego w zadaniu.

W pierwszym kroku należy wyznaczyć:

$$\frac{K'(ke)}{K(ke)} = Z_{0e} / 29.976\pi \sqrt{\frac{\mu_r}{\epsilon_r}} \quad (8.3)$$

$$\frac{K'(ko)}{K(ko)} = Z_{0o} / 29.976\pi \sqrt{\frac{\mu_r}{\epsilon_r}} \quad (8.4)$$

Z ilorazu całek eliptycznych można wyznaczyć moduły  $k_e$  i  $k_o$ . Następnie obliczamy parametry linii  $W$  i  $S$  zgodnie ze wzorami:

$$W = \frac{2b}{\pi} \operatorname{arth}(\sqrt{k_e k_o}) \quad (8.5)$$

$$S = \frac{2b}{\pi} \operatorname{arth}\left(\frac{k_e}{k_o}\right) - W \quad (8.6)$$

Dla wartości podanych w treści zadania potrzebne parametry linii to  $w = 1.95755230148 \text{ mm}$  i  $s = 0.384595243329 \text{ mm}$ .

## 9. Zadanie 9

### 9.1. Treść

Zaprojektować tłumik rezystywny typu  $T$  o tłumieniu  $L = 10 \text{ dB}$ , który włączony pomiędzy linie długie o impedancjach charakterystycznych  $Z_{01} = 50 \Omega$  i  $Z_{02} = 60 \Omega$  powinien zapewniać obustronne dopasowanie w nieskończenie szerokim paśmie częstotliwości. Zaprojektować równoważną wersję tego tłumika typu  $\Pi$ .

### 9.2. Rozwiązanie

W pierwszym kroku należy sprawdzić realizowalność dzielnika. Należy wyznaczyć stosunek impedancji  $r$ :

$$r = \left( \frac{Z_{01}}{Z_{02}} \right)^{\pm 1} \quad (9.1)$$

przy czym znak przy wykładniku dobiera się tak, aby:  $r > 1$ .

Dla przypadku określonego w treści zadania:

$$\begin{aligned} r &= \frac{Z_{02}}{Z_{01}} = \frac{60}{50} \\ &= 1.2 \end{aligned}$$

Następnie można obliczyć minimalne tłumienie jakie wprowadza dzielnik:

$$L_{min} = 10 \log(\sqrt{r} + \sqrt{r-1}) \quad (9.2)$$

Podstawiając wartości określone w treści zadania otrzymujemy się  $L_{min} = 4.33507363245 \text{ dB}$  co jest mniejsze od wymaganego  $L = 10 \text{ dB}$ . Oznacza to, że tłumik jest realizowalny.

Projekt tłumików zaczyna się od przekształcenia wartości tłumienia z miary decybelowej na liniową:

$$N = 10^{(\frac{L}{10})} = 10 \quad (9.3)$$

#### 9.2.1. Dzielnik typu $T$

W celu zaprojektowania tłumika typu  $T$  wyznacza się wartości rezystancji zgodnie ze wzorami:

$$R_3 = \frac{2\sqrt{N \times Z_{01} \times Z_{02}}}{N-1} = 38.490017946 \Omega \quad (9.4)$$

$$R_2 = Z_{02} \frac{N+1}{N-1} - R_3 = 34.8433153874 \Omega \quad (9.5)$$

$$R_1 = Z_{01} \frac{N+1}{N-1} - R_3 = 22.6210931651 \Omega \quad (9.6)$$

### 9.2.2. Dzielnik typu II

W celu zaprojektowania tłumika typu II wyznacza się wartości rezystancji zgodnie ze wzorami:

$$R_a = \frac{(N-1)\sqrt{Z_{01}Z_{02}}}{2\sqrt{N}} = 77.9422863406 \, \Omega \quad (9.7)$$

$$R_b = \frac{Z_{01}R_a(N-1)}{R_a(N+1) - Z_{01}(N-1)} = 86.0997286466 \, \Omega \quad (9.8)$$

$$R_c = \frac{Z_{02}R_a(N-1)}{R_a(N+1) - Z_{02}(N-1)} = 132.619585539 \, \Omega \quad (9.9)$$



## 10. Zadanie 10

### 10.1. Treść

Zaprojektować schodkowy, ćwierćfalowy transformator impedancji o charakterystyce równomiernie falistej (Czebyszewa) dopasowujący dwie linie współosiowe o impedancjach charakterystycznych  $Z_{01} = 30 \Omega$  i  $Z_{02} = 75 \Omega$ . Transformator ten powinien zapewniać w paśmie  $2 \div 3 \text{ GHz}$  dopasowanie z  $WFS \leq 1.12$ . Projekt transformatora wykonać przy założeniu, że przewody zewnętrzne obu dopasowywanych linii mają średnicę  $a = 7 \text{ mm}$ . Zaprojektować równoważny wariant tego transformatora w postaci transformatora II klasy, tj. transformatora złożonego z niewspółmiernych odcinków linii o impedancjach charakterystycznych  $Z_{01} = 30 \Omega$  i  $Z_{02} = 75 \Omega$ .

### 10.2. Rozwiązanie

#### 10.2.1. Transformator schodkowy

Projekt transformatora rozpoczyna się od określenia ilości sekcji niezbędnych do realizacji. Minimalna ilość sekcji potrzebnych do realizacji transformatora jest większa lub równa:

$$n \geq \frac{\operatorname{arch}\left(\frac{R-1}{\Gamma_d \times (r+1)}\right)}{\operatorname{arch}\left(\frac{1}{\cos\left(\pi \frac{1-\omega}{2}\right)}\right)} = 1.47234760626 \quad (10.1)$$
$$n = 2$$

gdzie:

$$R = \frac{Z_{02}}{Z_{01}} = 2.5,$$
$$\Gamma_d = \frac{WFS - 1}{WFS + 1} = 0.0566037735849.$$

Następnie należy policzyć wartość impedancji kolejnych sekcji transformatora. Uzyskujemy je poprzez przemnożenie impedancji poprzedniego fragmentu linii poprzez współczynnik  $V_K$ . Sposób obliczania współczynników  $V_K$  jest zależny od stopnia transformatora i dokładne wzory są podane w [2]. Dla przypadku podanego w treści zadania mamy:

$$\begin{aligned} Z_{01} &= 30 \Omega \\ Z_1 &= Z_{01} \times V_1 = 30 \Omega \times 1.27247425628 = 38.1742276884 \Omega \\ Z_2 &= Z_1 \times V_2 = 38.1742276884 \Omega \times 1.54398116863 = 58.9402886777 \Omega \\ Z_{02} &= 75 \Omega \end{aligned}$$

Znając impedancje kolejnych odcinków linii oraz transformatora możemy obliczyć szerokości przewodów wewnętrznych linii współosiowych realizujących dane impedancję. W tym celu należy posłużyć się zależnością:

$$b = a \times \exp\left(-\frac{Z_k}{59.952 \times \sqrt{\frac{\mu_r}{\epsilon_r}}}\right) \quad (10.2)$$

Dla danych z treści z zdania oraz obliczonych impedancji:

$$\begin{aligned}b_{01} &= 4.24401531258 \text{ mm} \\b_1 &= 3.70307525226 \text{ mm} \\b_2 &= 2.61898150779 \text{ mm} \\b_{02} &= 2.00352744277 \text{ mm}\end{aligned}$$

Ostatnim etapem projektu jest wyznaczenie długości każdego z odcinków tworzących transformator. Długość elektryczna powinna wynosić  $\frac{\lambda}{4}$ . Długość fizyczną wyznacza się z zależności:

$$l\left(\frac{\pi}{4}\right) = \frac{c}{\sqrt{\mu_r/\epsilon_r}4f_0} \quad (10.3)$$

Dla danych z zadania wynosi:  $l\left(\frac{\pi}{4}\right) = 2.99792458 \text{ cm}$ .

### 10.2.2. Transformator impedancji II klasy

Transformator złożony z niewspółmiernych odcinków linii różni się od transformatora schodkowego tym, że składa się z odcinków linii o znanej impedancji charakterystycznej  $Z_0$  i  $R \times Z_0$ , a projektowanie polega na doborze odpowiedniej ilości sekcji oraz długości elektrycznych odcinków. W przypadku tego zadania mamy  $Z_0 = 30 \Omega$ ,  $R = \frac{75}{30} = 2.5$ .

W pracy [2] przedstawiono metody projektowania dwu-, cztero-, sześćo- i ośmiosekcyjnych transformatorów impedancji II klasy. W przypadku tego zadania, ze względu warunek odpowiadania transformatorowi zaprojektowanemu w sekcji 10.2.1 należy zaprojektować transformator cztero-sekcyjny.

Długości elektryczne kolejnych sekcji transformatora wynoszą  $\theta_i(f)$  i są związane z długością elektryczną pierwszej sekcji  $\theta(f)$  zależnością:

$$\theta_i(f) = a_i \theta(f) \quad \text{dla} \quad i = 2, 3, \dots, n, \quad (10.4)$$

gdzie  $a_i$  jest  $i$ -tą składową  $n$ -wymiarowego wektora  $A = (1, a_2, a_3, \dots, a_n)$

Projektowanie transformatora sprowadza się do aproksymacji funkcji wnoszonego tłumienia  $L(A, \theta)$  w paśmie  $[\theta_a, x\theta_a]$  gdzie  $\theta_a$  i  $x\theta_a$  oznaczają długości elektryczne pierwszej sekcji dla najmniejszej i największej częstotliwości pracy transformatora.

Z wymagań przedstawionych w [2] mamy:  $a_2 = a_3$  i  $a_4 = 1$ . Dlatego szukane wartości to:

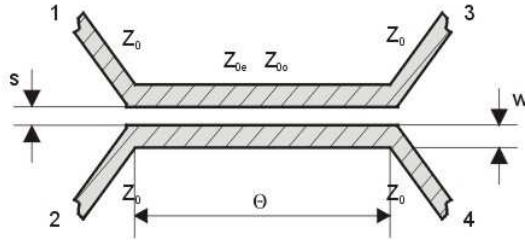
$$\theta_a = \theta(f_1) = \frac{V_4}{1+x} = 0.265397249812 \quad (10.5)$$

$$a_2 = \frac{f_3(r) + f_4(r)(2-x)}{V_4} = 2.73683917651 \quad (10.6)$$

## 11. Zadanie 11

### 11.1. Treść

Zaprojektować jednosekcyjny, zbliżeniowy sprzęgacz kierunkowy o sprzężeniu  $C = 13 \text{ dB}$  przy częstotliwości  $f = 1.34 \text{ GHz}$ . Sprzęgacz zrealizować z odcinków symetrycznych linii paskowych (pojedynczych i sprzężonych) przyjmując, że podłoże linii stanowi dielektryk o  $\epsilon_r = 2.56$ ,  $\mu_r = 1$  i grubości  $b = 2.8 \text{ mm}$ . Projekt wykonać przy założeniu, że grubość przewodów wewnętrznych jest pomijalnie mała z grubością dielektryka  $b = 2.8 \text{ mm}$  a impedancja charakterystyczna linii obciążających sprzęgacz jest równa  $Z_0 = 50 \Omega$ .



Rysunek 11.1: Jednosekcyjny sprzęgacz zbliżeniowy

### 11.2. Rozwiązanie

Sprzęgacz z oznaczeniami przedstawiono na rys. 11.1. Rozważany sprzęgacz jest sprzęgaczem *w tył*, tzn. wrota sprzężone to wrota oznaczone numerem 2. Projekt sprzęgacza zaczyna się od wyznaczenia wartości napięciowego współczynnika sprzężenia:

$$k = 10^{-\frac{|C|}{20}} = 0.223872113857 \quad (11.1)$$

Następnie, na jego podstawie, wyznacza się wartości impedancji charakterystycznych:

$$Z_{0e} = Z_0 \sqrt{\frac{1+k}{1-k}} = 62.7872381716 \Omega \quad (11.2)$$

$$Z_{0o} = Z_0 \sqrt{\frac{1-k}{1+k}} = 39.8170085642 \Omega \quad (11.3)$$

$$(11.4)$$

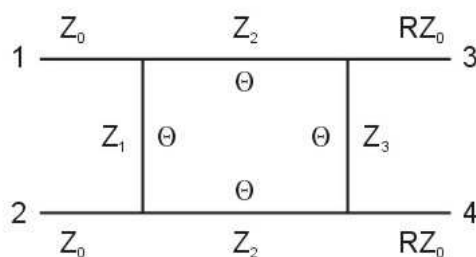
Wyznaczone impedancje to prawie koniec projektu. Realizacja sprzęgacza w technice linii paskowych sprowadza się do zagadnienia rozważanego w rozdziale 8. Szerokość i szczelina między ścieżkami opisane są zależnościami 8.5 i 8.6. Dla wartości podanych w treści zadania potrzebne parametry linii to  $w = 1.85910996355 \text{ mm}$  i  $s = 0.326090134191 \text{ mm}$ .

Długość sprzęgacza powinna wynosić  $\frac{1}{4} \times \lambda$ . Dla zadanej częstotliwości i parametrów podłoża sprzęgacza  $\lambda = 13.9828571828 \text{ cm}$ , co daje długość sprzęgacza  $l = 3.49571429571 \text{ cm}$ .

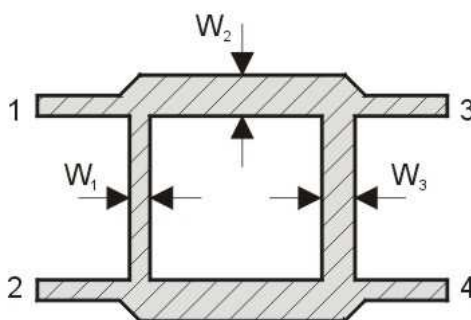
## 12. Zadanie 12

### 12.1. Treść

Zaprojektować dwugłęziowy sprzęgacz kierunkowy zapewniający przy częstotliwości  $f = 1.34 \text{ GHz}$  sprzężenie  $C = 3.9 \text{ dB}$ . Sprzęgacz zrealizować z odcinków niesymetrycznej linii paskowej przyjmując, że podłoże linii stanowi dielektryk o  $\epsilon_r = 4.34$ ,  $\mu_r = 1$  i grubości  $h = 1.4 \text{ mm}$ . Projekt wykonać przy założeniu, że grubość przewodu wewnętrznego  $t = 0.035 \text{ mm}$  a impedancja charakterystyczna linii obciążających sprzęgacz jest równa  $Z_0 = 50 \Omega$ . Wyznaczyć częstotliwościową charakterystykę sprzężenia  $C(f) [\text{dB}]$  w paśmie od  $f = 1.75 \text{ GHz}$  do  $f = 2.25 \text{ GHz}$ .



Rysunek 12.1: Schemat elektryczny sprzęgacza



Rysunek 12.2: Realizacja sprzęgacza z niesymetrycznych linii paskowych

## 12.2. Rozwiązanie

### 12.2.1. Projekt sprzęgacza

Rysunki 12.1 i 12.2 przedstawiają projektowany sprzęgacz. Sygnał we wrotach 4 jest w przeciwfazie a we wrotach 3 w kwadraturze. Dwugłęziowy sprzęgacz kierunkowy może transformować impedancje.

Jednak w treści zadania zaznaczono, że jest on obciążony liniami o impedancji charakterystycznej  $Z_0 = 50 \Omega$ . Stąd parametr  $R = 1$ .

Współczynnik napięciowego sprzężenia wynosi:

$$k = \frac{1}{\sqrt{10^{\frac{C}{10}} - 1}} = 0.829109611422 \quad (12.1)$$

Następnie podstawie współczynnika  $k$ , wyznacza się wartości impedancji charakterystycznych:

$$Z_1 = \frac{Z_0}{k} = 60.3056571908 \Omega \quad (12.2)$$

$$Z_2 = Z_0 \sqrt{\frac{R}{1 + k^2}} = 38.4908989956 \Omega \quad (12.3)$$

$$Z_3 = Z_0 \frac{R}{k} = 60.3056571908 \Omega \quad (12.4)$$

Wyznaczone impedancje należy zamienić na odcinki niesymetrycznych linii paskowych tak samo jak było to wykonane w rozdziale 6. Szerokości ścieżek wynoszą:

$$w1 = 1.90100127159 \text{ mm}$$

$$w2 = 4.01397627035 \text{ mm}$$

$$w3 = 1.90100127159 \text{ mm}$$

Podobnie jak w rozdziale 6 aby wyznaczyć długość odcinków ćwierćfalowych, należy obliczyć długość fali rozchodzącej się w linii. Długość fali zależy od efektywnej przenikalności dielektrycznej  $\epsilon_{eff}$ , która jest funkcją wymiarów oraz częstotliwości pracy. Dlatego obliczono 3 różne długości. Dla danych z treści zadania mamy:

$$\frac{\lambda_1}{4} = 3.11142895539 \text{ cm}$$

$$\frac{\lambda_2}{4} = 3.00913769452 \text{ cm}$$

$$\frac{\lambda_3}{4} = 3.11142895539 \text{ cm}$$

### 12.2.2. Charakterystyka sprzęgacza

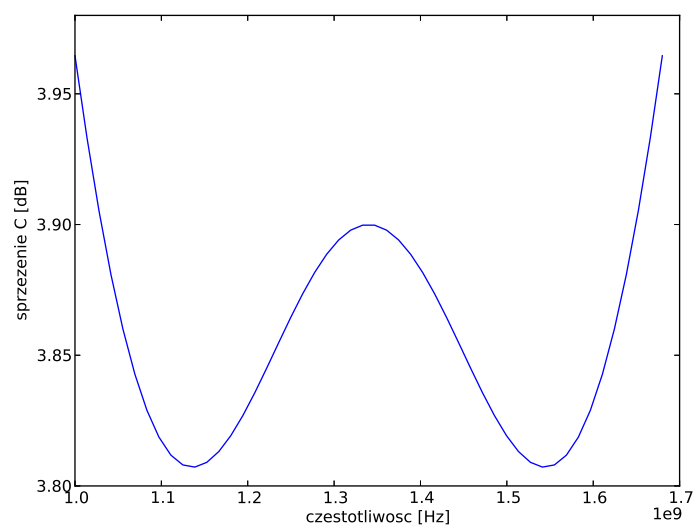
W celu wyznaczenia charakterystyki częstotliwościowej wartości sprzężenia należy posłużyć się zależnością:

$$C = 20 \log \left( \frac{1}{|S_{14}|} \right) \quad (12.5)$$

$$S_{14} = \frac{1}{2} \left[ \frac{1}{RD_e + jXD_e} - \frac{1}{RD_o + jXD_o} \right] \quad (12.6)$$

$$|S_{14}| = \frac{1}{2} \left[ \frac{\sqrt{(RD_o - RD_e)^2 + (XD_o - XD_e)^2}}{(RD_e^2 + XD_e^2)(RD_o^2 + XD_o^2)} \right] \quad (12.7)$$

Dokładne zależności podane zostały w [2]. Charakterystykę sprzęgacza zaprezentowano na rys. 12.3.

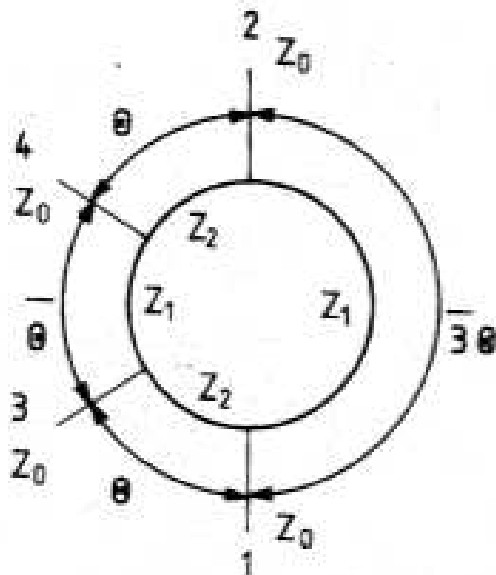


Rysunek 12.3: Charakterystyka częstotliwościowa sprzęgacza

## 13. Zadanie 13

### 13.1. Treść

Zaprojektować czteroramienny, pierścieniowy sprzęgacz kierunkowy zapewniający przy częstotliwości  $f = 1.35 \text{ GHz}$  sprzężenie  $C = 3.01 \text{ dB}$ . Sprzęgacz zrealizować z odcinków niesymetrycznej linii paskowej przyjmując, że podłoże linii stanowi dielektryk o  $\epsilon_r = 4.34$ ,  $\mu_r = 1$  i grubości  $h = 1.4 \text{ mm}$ . Projekt wykonać przy założeniu, że grubość przewodu wewnętrznego  $t = 0.035 \text{ mm}$  a impedancja charakterystyczna linii obciążających sprzęgacz jest równa  $Z_0 = 50 \Omega$ . Wyznaczyć częstotliwościową charakterystykę sprzężenia  $C(f) [\text{dB}]$  w paśmie od  $f = 1.25 \text{ GHz}$  do  $f = 1.45 \text{ GHz}$ .



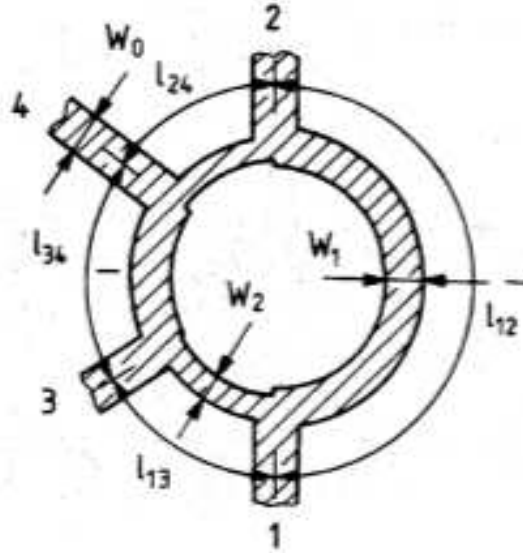
Rysunek 13.1: Schemat elektryczny sprzęgacza pierścieniowego

### 13.2. Rozwiązanie

#### 13.2.1. Projekt sprzęgacza

Rysunki 13.1 i 13.2 przedstawiają projektowany sprzęgacz. Przy pobudzeniu wrót 4 wrota 2 i 3 są wyjściowe, synfazowe. Sprężenie pomiędzy wrotami 3 i 4 wynosi:

$$C_{34} = 20 \log \left( \frac{1}{|S_{34}|} \right) = 10 \log \left( \frac{1}{y_1^2} \right) \quad (13.1)$$



Rysunek 13.2: Realizacja sprzęgacza z niesymetrycznych linii paskowych

gdzie:

$$y_1^2 + y_2^2 = 1 \quad (13.2)$$

$$y_1 = \frac{Z_0}{Z_1} \quad (13.3)$$

$$y_2 = \frac{Z_0}{Z_2} \quad (13.4)$$

jest warunkiem na idealne dopasowanie impedancyjne wrót sprzęgacza. Z równania 13.1 wynika zależność:

$$y_1 = \sqrt{10^{-\frac{C_{34}}{10}}} = 0.707131200681 \quad (13.5)$$

Co pozwala wyznaczyć kolejne wielkości:

$$y_2 = \sqrt{1 - y_1^2} = 0.707082360848 \quad (13.6)$$

$$Z_1 = \frac{Z_0}{y_1} = 70.7082362535 \, \Omega \quad (13.7)$$

$$Z_2 = \frac{Z_0}{y_2} = 70.7131202368 \, \Omega \quad (13.8)$$

$$(13.9)$$

Wyznaczone impedancje należy zamienić na odcinki niesymetrycznych linii paskowych tak samo jak było to wykonane w rozdziale 6. Szerokości ścieżek wynoszą:

$$w_1 = 1.384465672 \, mm$$

$$w_2 = 1.384261365 \, mm$$

Podobnie jak w rozdziale 6 aby wyznaczyć długość odcinków ćwierćfalowych, należy obliczyć długość fali rozchodzącej się w linii. Długość fali zależy od efektywnej przenikalności dielektrycznej  $\epsilon_{eff}$ , która jest funkcją wymiarów oraz częstotliwości pracy. Dlatego obliczono 2 różne długości. Dla danych z treści zadania mamy:

$$\frac{\lambda_1}{4} = 3.1315202668 \, cm$$

$$\frac{\lambda_2}{4} = 3.13153691782 \, cm$$



### 13.2.2. Charakterystyka sprzęgacza

W celu wyznaczenia charakterystyki częstotliwościowej wartości sprzężenia należy posłużyć się zależnością:

$$C = 20 \log \left( \frac{1}{|S_{34}|} \right) \quad (13.10)$$

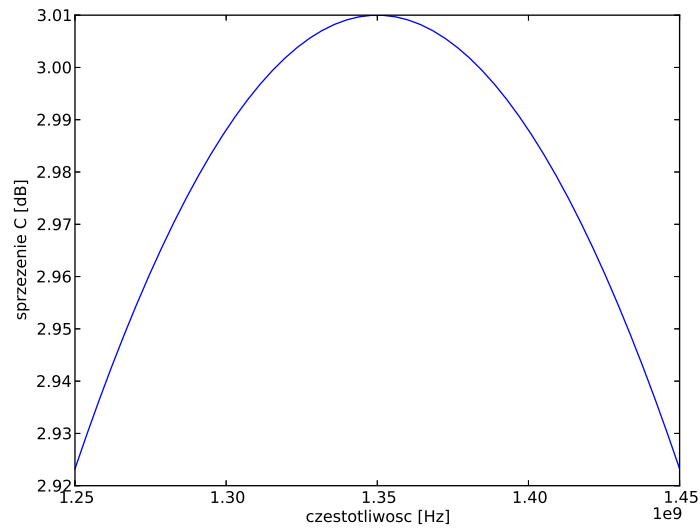
$$S_{34} = \frac{1}{2} (S_{22}^{++} - S_{22}^{+-}) \quad (13.11)$$

$$S_{22}^{++} = \frac{1 - A - B - jD}{1 + A + B + j(C + E)} \quad (13.12)$$

$$S_{22}^{+-} = \frac{1 - A' + B' - jD'}{1 + A' - B' - j(C' - E)} \quad (13.13)$$

$$(13.14)$$

Dokładne zależności podane zostały w [2]. Charakterystykę sprzęgacza zaprezentowano na rys. 13.3.

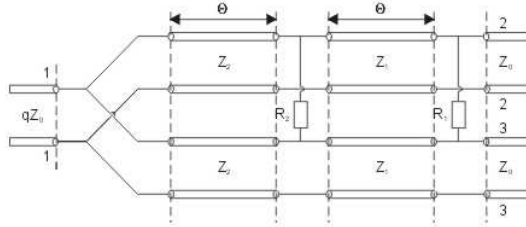


Rysunek 13.3: Charakterystyka częstotliwościowa sprzęgacza

## 14. Zadanie 14

### 14.1. Treść

Zaprojektować dwusekcyjny, trójwrotowy dzielnik sygnału mikrofalowego obciążony od strony wejścia rezystancją  $Z_{01} = 35 \Omega$ . Wrota wyjściowe tego dzielnika są obciążone rezystancjami  $Z_{02} = Z_{03} = 50 \Omega$ , odpowiednio. Projekt wykonać, przy założeniu, że środkowa częstotliwość pasma pracy  $f_0 = 1.35 \text{ GHz}$ . Wyznaczyć częstotliwościowe charakterystyki dopasowania we wrotach wejściowych  $WFS(f)$  i izolacji (separacji) pomiędzy wrotami  $I(f)[dB]$  w paśmie od  $f_1 = 1.25 \text{ GHz}$  do  $f_2 = 1.45 \text{ GHz}$ .



Rysunek 14.1: Schemat elektryczny dzielnika

### 14.2. Rozwiązanie

#### 14.2.1. Projekt dzielnika

Projektowany dzielnik jest przedstawiony na rys. 14.1. Ze względu na różne impedancje obciążenia i źródła dzielnik musi transformować impedancje. Przyjmując  $Z_0 = 50 \Omega = q \times Z_{01}$ , stąd  $q = 0.7$ .

Impedancję sekcji dzielnika są opisane zależnościami:

$$Z_1 = Z_0 \times V_1 \quad (14.1)$$

$$Z_2 = Z_0 \times V_2 \quad (14.2)$$

gdzie:

$$V_1^2 = \sqrt{C^2 + 2q} + CV_2 = \frac{2q}{V_1^2} C = \frac{(2q-1)u_0^2}{2(2-u_0^2)} u_0 = \sin\left(\frac{w\pi}{4}\right) w = \frac{2(f_2 - f_1)}{f_1 + f_2} \quad (14.3)$$

Dla danych z treści zadania otrzymuje się:

$$Z_1 = 54.4190599649 \Omega$$

$$Z_2 = 64.3157011947 \Omega$$

Rezystory separujące oblicza się z zależności:

$$R_2 = \frac{2Z_1 Z_2}{\sqrt{(Z_1 + Z_2)(Z_2 - Z_1 \operatorname{ctg}^2(\theta_3))}} \quad (14.4)$$

$$R_1 = \frac{2R_2(Z_1 + Z_2)}{R_2 \frac{Z_1 + Z_2}{Z_0} - 2Z_2} \theta_3 = \frac{\pi}{2} \left( 1 - \frac{2}{2\sqrt{2}} \right) \quad (14.5)$$

co daje wynik:

$$R_2 = 80.3347745707 \, \Omega$$

$$R_1 = 307.005233567 \, \Omega$$

#### 14.2.2. Charakterystyki dzielnika

W celu wyznaczenia charakterystyki częstotliwościowej dopasowania we wrotach wejściowych:

$$WFS(f) = \frac{1 + |S_{11}|}{1 - |S_{11}|} \quad (14.6)$$

Izolację z kolei określa zależność:

$$I(f) = 20 \log \left( \frac{1}{|S_{23}|} \right) \quad (14.7)$$

Niezbędne parametry macierzy rozproszenia S:

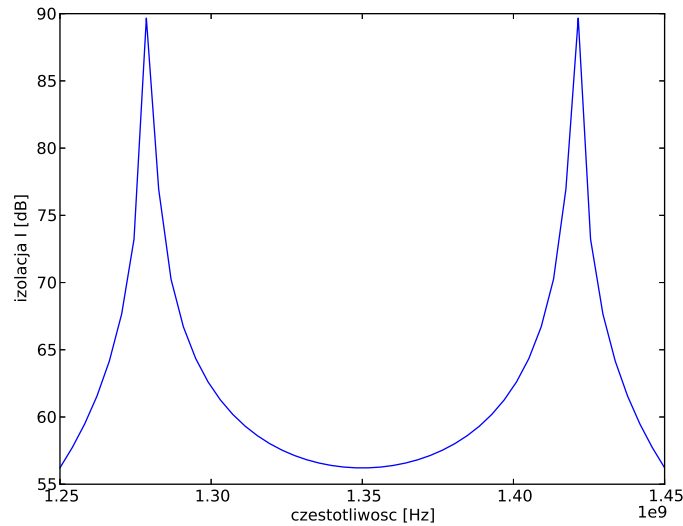
$$S_{11} = \frac{-RN + jXN}{RD + jXD} \quad (14.8)$$

$$S_{23} = \frac{1}{2} \left[ \frac{RN + jXN}{RD + jXD} - S_{22}^{+-} \right] \quad (14.9)$$

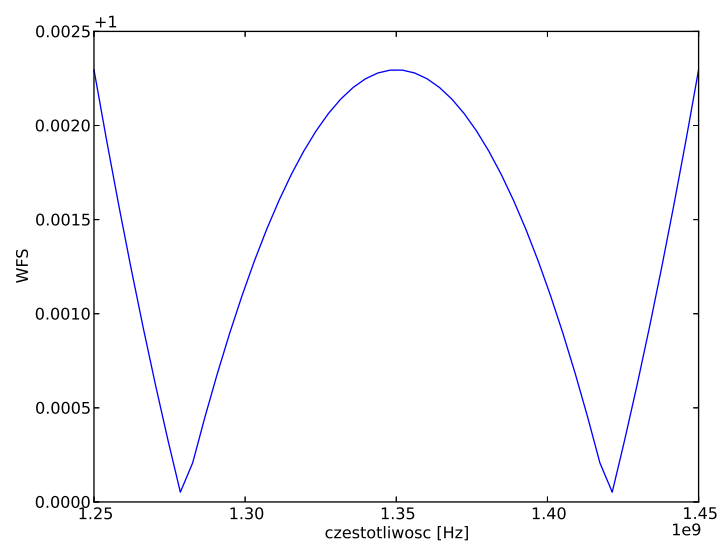
$$S_{22}^{+-} = \frac{A + jB}{C + jD} \quad (14.10)$$

$$(14.11)$$

Dokładne zależności podane zostały w [2]. Charakterystyki dzielnika zaprezentowano na rys. 14.2 i 14.3.



Rysunek 14.2: Charakterystyka izolacji dzielnika

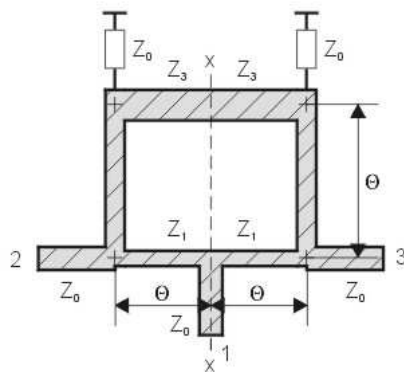


Rysunek 14.3: WFS na wejściu dzielnika

## 15. Zadanie 15

### 15.1. Treść

Zaprojektować dzielnik sygnału mikrofalowego typu Gysel'a przyjmując  $f_0 = 1.35 \text{ GHz}$  i  $Z_0 = 50 \Omega$ . Projekt dzielnika wykonać przy założeniu, że jest on realizowany z odcinków powietrznej, symetrycznej linii paskowej o grubości  $b = 8 \text{ mm}$ . Grubość przewodu wewnętrznego  $t = 0.8 \text{ mm}$ . Obliczyć charakterystykę sprzężenia  $C(f)[dB]$  w paśmie od  $f_1 = 1.25 \text{ GHz}$  do  $f_2 = 1.45 \text{ GHz}$ .



Rysunek 15.1: Zarys konstrukcyjny projektowanego dzielnika

### 15.2. Rozwiązanie

#### 15.2.1. Projekt dzielnika

Projektowany dzielnik jest przedstawiony na rys. 15.1. Impedancje poszczególnych sekcji dzielnika opisane są zależnościami:

$$Z_0 = 50 \Omega$$

$$Z_1 = \sqrt{2} * Z_0 = 70.7106781187 \Omega \quad (15.1)$$

$$Z_3 = \frac{Z_0}{\sqrt{2}} = 35.3553390593 \Omega \quad (15.2)$$

$$(15.3)$$

W celu wyznaczenia parametrów realizacji dzielnika za pomocą symetrycznych linii paskowych wykorzystano rozwiązanie zadania 4. Otrzymane szerokości przewodów wewnętrznych wynoszą:

$$w_0 = 8.58657086038 \text{ mm}$$

$$w_1 = 4.65264251488 \text{ mm}$$

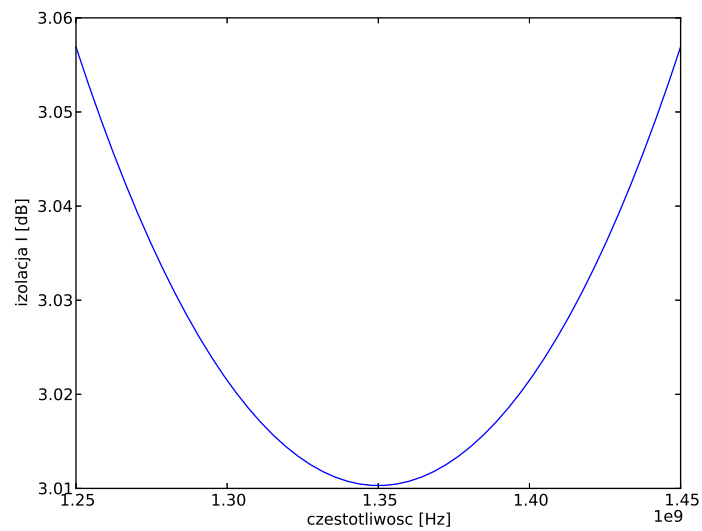
$$w_3 = 14.1720836113 \text{ mm}$$

### 15.2.2. Charakterystyka sprzężenia dzielnika

W celu wyznaczenia częstotliwościowej charakterystyki sprzężenia:

$$C(f) = 20 \log \frac{1}{|S_{12}|} \quad (15.4)$$

$$S_{12} = \frac{2}{R_{22} + jX_{22}} \quad (15.5)$$



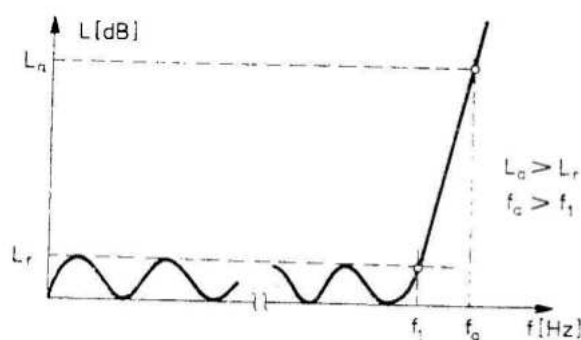
Rysunek 15.2: Charakterystyka sprzężenia dzielnika

Dokładne zależności podane zostały w [2]. Charakterystyki dzielnika zaprezentowano na rys. 15.2.

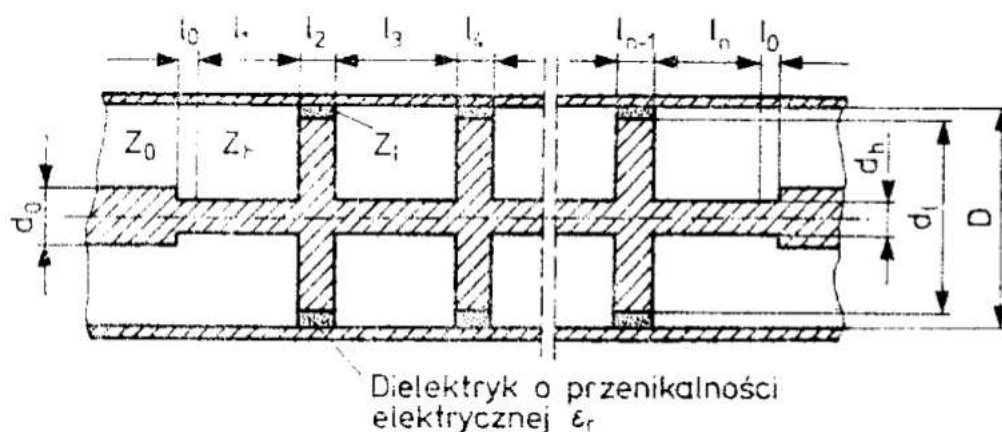
## 16. Zadanie 16

### 16.1. Treść

Zaprojektować filtr dolnoprzepustowy (FDP) o charakterystyce równomiernie falistej, rys. 16.1, dla następujących danych:  $Z_0 = 50 \Omega$ ,  $f_1 = 10^9 \text{ Hz}$ ,  $L_r = 0.2 \text{ dB}$ ,  $f_a = 1.43 \times 10^9 \text{ Hz}$  i  $L_a = 30 \text{ dB}$ . Filtr zrealizować z odcinków linii współosiowej o średnicy przewodu zewnętrznego  $D = 7 \text{ mm}$ , rys.16.2. Obliczenia wykonać przy założeniu, że impedancje charakterystyczne niskoomowych i wysokoomowych sekcji filtru są równe odpowiednio  $Z_l = 10 \Omega$  i  $Z_h = 120 \Omega$ . Ponadto założyć, że niskoomowe sekcje filtru są odcinkami linii współosiowej wypełnionej dielektrykiem o  $\epsilon_r = 2.05$  i  $\mu_r = 1$ .



Rysunek 16.1: Charakterystyka projektowanego filtra



Rysunek 16.2: Realizacja filtra przy użyciu linii współosiowej

Tabela 16.1: Parametry zaprojektowanego filtra

i	g	L [nH]	C [pF]	l [mm]	$d_l$ [mm]	$d_h$ [mm]
0	1.0				3.04015838775	3.04015838775
1	1.37229535453	10.9203794528	—	28.6038828188	—	0.945831227808
2	1.37819320784	—	4.38692523125	6.05098425027	5.51288864551	
3	2.27568854642	18.109354055	—	57.3968306129	—	0.945831227808
4	1.50014664009	—	4.77511506265	6.02588104449	5.51288864551	
5	2.27568854642	18.109354055	—	57.3968306129	—	0.945831227808
6	1.37819320784	—	4.38692523125	6.05098425027	5.51288864551	
7	1.37229535453	10.9203794528	—	28.6038828188	—	0.945831227808
8	1.07602182984					

## 16.2. Rozwiązanie

W pierwszym kroku należy obliczyć minimalną ilość sekcji filtra:

$$n \geq \frac{\operatorname{arch} \sqrt{\frac{L'_a - 1}{L'_r - 1}}}{\operatorname{arch} \left( \frac{f_a}{f_1} \right)} \quad (16.1)$$

$$= 7$$

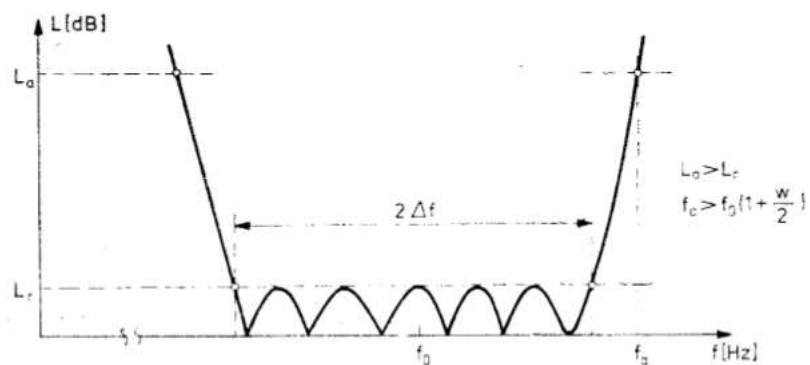
Następnie należy obliczyć parametry filtra dolnoprzepustowego a na ich podstawie wartości elementów filtra o parametrach skupionych. Wyniki tych obliczeń przedstawia tabela 16.1. Długość  $l_o$  stanowiąca poprawkę uwzględniającą pojemność  $C_{f0}$  wynosi  $l_o = 2.60235408442 \text{ mm}$ .



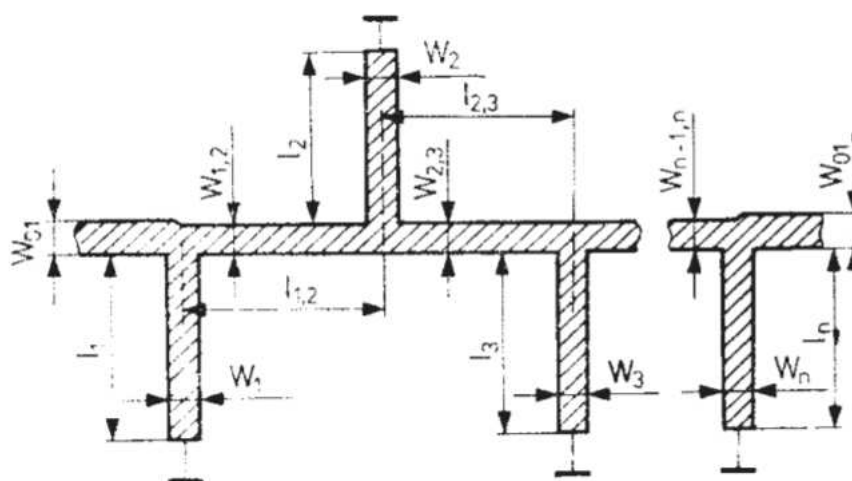
## 17. Zadanie 17

### 17.1. Treść

Zaprojektować czhebyszewowski filtr pasmowo przepustowy (FPP, rys. 17.1) o strukturze paskowej jak na rys. 17.2 dla następujących danych:  $Z_0 = 50 \Omega$ ,  $f_0 = 2.8 \times 10^9 \text{ Hz}$ ,  $w = 0.1$ ,  $L_r = 0.2 \text{ dB}$ ,  $f_a = 3.2 \times 10^9 \text{ Hz}$  i  $L_a = 30 \text{ dB}$ . Filtr zrealizować z odcinków symetrycznej linii paskowej opisanej w zadaniu 4.



Rysunek 17.1: Charakterystyka projektowanego filtra



Rysunek 17.2: Realizacja filtra przy użyciu symetrycznej linii paskowej

Tabela 17.1: Parametry zaprojektowanego filtra

i	g	$Z_0$ [ $\Omega$ ]	$w$ [mm]	$l$ [mm]
0	1.0			
1	1.30287657175	3.20338115776	47.5830406797	16.7294898437
2	1.28442456136	3.46442342228	43.8597176927	16.7294898437
3	1.97619882964	3.39627708893	44.7764554109	16.7294898437
4	0.84680075915	4.9956490685	29.8615873107	16.7294898437
5	1.0			

## 17.2. Rozwiązanie

W pierwszym kroku należy obliczyć minimalną ilość sekcji filtra:

$$n \geq \frac{\operatorname{arch} \sqrt{\frac{L'_a - 1}{L'_r - 1}}}{\operatorname{arch} \left( \frac{\sin \frac{\pi w_a}{4}}{\sin \frac{\pi w}{4}} \right)} \quad (17.1)$$

$$= 4$$

Następnie należy obliczyć parametry filtra dolnoprzepustowego a na ich podstawie wartości elementów filtra o parametrach skupionych. Wyniki tych obliczeń przedstawia tabela 17.1.

# A. Kody użytych funkcji

## A.1. pum/lines.py

```

1 import scipy.constants as const
2 import numpy as np
3 import algorithms as alg
4
5 def coax_z(a, b, mu, epsilon): # impedance of coaxial line
6     return np.sqrt(const.mu_0 * mu / (const.epsilon_0 * epsilon)) * np.log( a / b ) / ( 2 * const.pi)
7
8 def skew_coax_z( c, a, b, mu, epsilon):
9     x = ( b + ( a * a - ( 4 * c * c ) ) / b ) / ( 2 * a )
10    return 59.952 * np.sqrt( mu / epsilon ) * np.log( x + np.sqrt( x * x - 1 ) )
11
12 def square_coax( b, t, mu, epsilon):
13     kkp = ( 1 - ( t / b ) ) / ( 1 + ( t / b ) )
14     qp = np.exp( - const.pi * ( 1 / kkp ) )
15     p = np.sqrt( qp ) * ( ( alg.n_fun( qp ) / alg.d_fun( qp ) ) ** 2 )
16     q = np.sqrt( 1 - ( p ** 2 ) )
17     k = ( ( p - q ) ** 2 ) / ( ( p + q ) ** 2 )
18     kpk = 1 / alg.k_int( k )
19     return 47.086 * kpk / np.sqrt( epsilon )
20
21 def cylindrical_flat( d, b, mu, epsilon): # impedance of cylindrical flat line
22     R = const.pi * d / ( 4 * b )
23     x = 1 + ( 2 * ( np.sinh( R ) ** 2 ) )
24     y = 1 - ( 2 * ( np.sin( R ) ** 2 ) )
25     return 59.952 * np.sqrt( mu / epsilon ) * \
26         ( np.log( ( np.sqrt( x ) + np.sqrt( y ) ) / \
27             ( np.sqrt( x - y ) ) ) - \
28             ( R**4 / 30 ) + \
29             ( 0.014 * ( R**8 ) ) ) )
30
31 def stripline(w, t, h, mu, epsilon):
32     m = 6 * ( h - t ) / ( 3 * h - t )
33     dw = t * ( 1 - \
34         ( np.log( ( ( t / ( 2 * h - t ) ) ** 2 ) + \
35             ( ( ( 0.0796 * t ) / ( 1.1 * t + W ) ) ** m ) ) / 2 ) ) / const.pi
36     A = 4 * ( h - t ) / ( const.pi * ( w + dw ) )
37     return 30 * np.log( 1 + A * ( 2 * A + np.sqrt( 4 * ( A ** 2 ) + 6.27 ) ) ) / np.sqrt( epsilon )
38
39 def microstrip(w, t, h, f, mu, epsilon):
40     u = w / h
41     if t != 0:
42         du = ( t / ( 2 * const.pi * h ) ) * np.log( 1 + ( ( 4 * np.exp(1) * h ) / ( t * ( ( 1 / np.tanh( np.sqrt(
43             u += du
44     a = 1 + ( ( 1 / 49 ) * np.log( ( ( u**4 ) + ( ( u / 52 ) ** 2 ) ) / ( ( u**4 ) + 0.432 ) ) ) + ( ( 1 / 18.7 ) * np.lo
45     b = 0.564 * ( ( ( epsilon - 0.9 ) / ( epsilon + 3 ) ) ** 0.053 )
46     c = 0.33622 * ( 1 - np.exp( -0.03442 * epsilon ) )
47     d = 3.751 - ( 2.75 * np.exp( - ( ( epsilon / 15.916 ) ** 8 ) ) )
48     fn = f * h * ( 10 ** -7 )
49     g = 1 - np.exp( - ( ( fn / 3.87 ) ** 4.97 ) )
50     g = 0.363 * g * np.exp( -4.6 * u )
51     m = 0.525 / ( ( 1 + ( 0.157 * fn ) ) ** 20 )
52     n = 0.27488 + ( 0.6315 * u ) + ( m * u ) - ( 0.065683 * np.exp( -8.7513 * u ) )
53     p = n * c * ( ( ( 1.844 * fn ) + ( k * d * fn ) ) ** 1.5763 )
54     eps_0 = ( ( epsilon + 1 ) / 2 ) + ( ( ( epsilon - 1 ) / 2 ) * ( ( 1 + ( 10 / u ) ) ** ( -a * b ) ) )
55     eps_eff = ( eps_0 + ( epsilon * p ) ) / ( 1 + p )
56     f = 6 + ( ( 2 * const.pi - 6 ) * np.exp( - ( ( 30.666 / u ) ** 0.7528 ) ) )
57     return ( 60 / np.sqrt( eps_eff ) ) * np.log( ( f / u ) + np.sqrt( 1 + ( 2 / u ) ** 2 ) )
58
59 def cylindrical_flat_coupled( s, d, h, mu, epsilon):
60     x = d / h
61     y = s / h
62     a = 1 + np.exp( 16 * x - 18.272 )
63     b = np.sqrt( 5.905 - ( x ** 4 ) )
64     c = ( -0.8107 * ( y ** 3 ) ) + \
65         ( 1.3401 * ( y ** 2 ) ) - \
66         ( 0.6929 * y ) + \
67         ( 1.0892 ) + \
68         ( 0.014002 / y ) - \

```

```

69     ( 0.000636 / ( y**2))
70 d = 0.11 - ( 0.83 * y) + ( 1.64 * ( y**2)) - ( y**3)
71 e = -0.15 * np.exp( -13 * x)
72 g = 2.23 * np.exp( ( -7.01 * y) + \
73     ( 10.24 * ( y**2)) - \
74     ( 27.58 * ( y**3)))
75 k = 1 + ( 0.01 * ( ( -0.0726) - \
76     ( 0.2145 / y) + \
77     ( 0.222573 / ( y ** 2)) - \
78     ( 0.012823 / ( y ** 3))))
79 l = 0.01 * ( ( -0.26) + \
80     ( 0.6866 / y) + \
81     ( 0.0831 / ( y ** 2)) - \
82     ( 0.0076 / ( y ** 3)))
83 m = ( -0.1098) + \
84     ( 1.2138 * x) - \
85     ( 2.2535 * ( x ** 2)) + \
86     ( 1.1313 * ( x ** 3))
87 n = ( -0.019) - \
88     ( 0.016 / y) + \
89     ( 0.0362 / ( y ** 2)) - \
90     ( 0.00234 / ( y ** 3))
91 f1 = x * a / b
92 if y < 0.9:
93     f2 = c - ( x * d) + ( e * g)
94 else:
95     f2 = 1 + ( 0.004 * np.exp( 0.9 - y))
96 f3 = np.tanh( const.pi * ( x + y) / 2)
97 if y < 0.9:
98     f4 = k - ( x * l) + ( m * n)
99 else:
100     f4 = 1
101 Z0e = 59.952 * np.log( 0.523962 / ( f1 * f2 * f3))
102 Z0o = 59.952 * np.log( ( 0.523962 * f3) / ( f1 * f4))
103 return ( Z0e, Z0o)
104
105 def stripline_coupled( w, s, b, t, mu, epsilon):
106     if t == 0:
107         ke = np.tanh( ( const.pi * w) / ( 2 * b)) * \
108             np.tanh( ( const.pi / 2) * ( ( w + s) / b))
109         ko = np.tanh( ( const.pi * w) / ( 2 * b)) * \
110             ( 1 / np.tanh( ( const.pi / 2) * ( ( w + s) / b)))
111         kpke = 1 / alg.k_int( ke)
112         kpko = 1 / alg.k_int( ko)
113         Z0e = 29.976 * const.pi * np.sqrt( mu / epsilon) * kpke
114         Z0o = 29.976 * const.pi * np.sqrt( mu / epsilon) * kpko
115     else:
116         theta = ( const.pi * s) / ( 2 * b)
117         ae = ( np.log( 2) + np.log( 1 + np.tanh( theta))) / \
118             ( 2 * const.pi * np.log( 2))
119         ao = ( np.log( 2) + np.log( 1 + ( 1 / np.tanh( theta)))) / \
120             ( 2 * const.pi * np.log( 2))
121         c = 2 * np.log( ( 2 * b - t) / ( b - t)) - \
122             ( ( t / b) * np.log( ( t * ( 2 * b - t)) / ( ( b - t) ** 2)))
123         Z0e = ( 30 * const.pi * ( b - t)) / \
124             ( np.sqrt( epsilon) * ( w + ( ae * b * c)))
125         Z0o = ( 30 * const.pi * ( b - t)) / \
126             ( np.sqrt( epsilon) * ( w + ( ao * b * c)))
127     return ( Z0e, Z0o)

```

## A.2. pum/fdm.py

```

1 import scipy.constants as const
2 import scipy.integrate as integ
3 import numpy as np
4 import matplotlib.pyplot as plt
5 import shapely.geometry as shp
6
7 class pt:
8     """Single point of finite difference method net"""
9     def __init__( self, u = 0.0, p = 1.0, q = 1.0, r = 1.0):
10         self.__dict__['u'] = float( u)
11         self.p = float( p)
12         self.q = float( q)
13         self.r = float( r)
14
15 class metal( pt):
16     """Metal point.
17

```

```

18     Assign new potential only upon creation"""
19     def __setattr__( self, name, val):
20         if name == 'u':
21             pass
22         else:
23             self.__dict__[name] = val
24
25     class imaginary( pt):
26         """Imaginary point.
27
28         Used when dividing structure"""
29         def __init__( self, pt):
30             self.ref = pt
31
32         def __getattr__( self, name):
33             if name == 'u':
34                 return self.ref.u
35
36     class struct:
37         """Microwave structure to analyze with finite difference method"""
38         def __init__( self, a, b, I, J, mu=1, eps=1):
39             self.a = a
40             self.b = b
41             self.I = I
42             self.J = J
43             self.mu = mu
44             self.eps = eps
45             self.xstep = a / I
46             self.ystep = b / J
47             self.st = [[pt(0.0) for x in xrange(self.I+1)] \
48                       for z in range(self.J+1)]
49             self.bl = []
50
51         def add_rect( self, a, b, x, y, u):
52             xs = a / 2
53             ys = b / 2
54             self.bl.append( ( shp.Polygon( [ (x - xs, y + ys), \
55                                             (x + xs, y + ys), \
56                                             (x + xs, y - ys), \
57                                             (x - xs, y - ys)]), u))
58
59         def add_plane( self, sx, sy, ex, ey, u):
60             self.bl.append( ( shp.LineString( [(sx, sy), (ex, ey)]), u))
61
62         def init( self):
63             for j in range( self.J + 1):
64                 for i in range( self.I + 1):
65                     # is it metal?
66                     for item in self.bl:
67                         #if item[0].contains( shp.Point( i * self.xstep, j * self.ystep)):
68                         if not item[0].disjoint( shp.Point( i * self.xstep, j * self.ystep)):
69                             self.st[j][i] = metal( item[1])
70                             continue
71                     if not isinstance( self.st[j][i], metal):
72                         # if not is is standard point
73                         # but look for metal vicinity
74                         for item in self.bl:
75                             p = self.ystep / self.xstep
76                             q = 1.0
77                             r = p
78                             step = self.xstep
79                             #if item[0].contains( shp.Point( (i - 1) * self.xstep, (j + 0) * self.ystep)):
80                             if not item[0].disjoint( shp.Point( (i - 1) * self.xstep, (j + 0) * self.ystep)):
81                                 # calculate new p, q, r values
82                                 line = shp.LineString( [( i * self.xstep, j * self.ystep), (( i - 1) * self.xstep,
83                                                                                               (j + 0) * self.ystep)])
84                                 inter = item[0].intersection( line)
85                                 step = shp.Point( i * self.xstep, j * self.ystep).distance( inter)
86                                 p = p * self.xstep / step
87                                 q = q * self.xstep / step
88                                 r = r * self.xstep / step
89                             #if item[0].contains( shp.Point( (i + 1) * self.xstep, (j + 0) * self.ystep)):
90                             if not item[0].disjoint( shp.Point( (i + 1) * self.xstep, (j + 0) * self.ystep)):
91                                 # calculate new q value
92                                 line = shp.LineString( [( i * self.xstep, j * self.ystep), (( i + 1) * self.xstep,
93                                                                                               (j + 0) * self.ystep)])
94                                 inter = item[0].intersection( line)
95                                 #q = ( inter.bounds[0] - ( i * self.xstep)) / step
96                                 q = shp.Point( i * self.xstep, j * self.ystep).distance( inter) / step
97                             #if item[0].contains( shp.Point( (i + 0) * self.xstep, (j + 1) * self.ystep)):
98                             if not item[0].disjoint( shp.Point( (i + 0) * self.xstep, (j + 1) * self.ystep)):
99                                 # calculate new p value
100                                line = shp.LineString( [( i * self.xstep, j * self.ystep), (( i + 0) * self.xstep,
101                                                                                               (j + 1) * self.ystep)])
102                                inter = item[0].intersection( line)
103                                #p = ( inter.bounds[1] - ( j * self.ystep)) / step
104                                p = shp.Point( i * self.xstep, j * self.ystep).distance( inter) / step

```

```

102         #if item[0].contains( shp.Point( (i + 0) * self.xstep, (j - 1) * self.ystep)):
103         if not item[0].disjoint( shp.Point( (i + 0) * self.xstep, (j - 1) * self.ystep)):
104             # calculate new r value
105             line = shp.LineString( [( i * self.xstep, j * self.ystep), ( (i + 0) * self.xstep,
106             inter = item[0].intersection( line)
107             #r = ( ( j * ystep) - inter.bounds.mary) / step
108             r = shp.Point( i * self.xstep, j * self.ystep).distance( inter) / step
109             #add point
110             self.st[j][i] = pt( 0.0, p, q, r)
111
112     def calc(self, i, j):
113         u = self.st[j + 0][i - 1].u / \
114             ( 1.0 + self.st[j][i].q)
115         u += self.st[j - 0][i + 1].u / \
116             ( self.st[j][i].q * ( 1.0 + self.st[j][i].q))
117         u += self.st[j + 1][i - 0].u / \
118             ( self.st[j][i].p * (self.st[j][i].p + self.st[j][i].r))
119         u += self.st[j - 1][i + 0].u / \
120             ( self.st[j][i].r * (self.st[j][i].p + self.st[j][i].r))
121         u *= ( self.st[j][i].p * self.st[j][i].q * self.st[j][i].r)
122         u /= ( self.st[j][i].p * self.st[j][i].r + self.st[j][i].q)
123         return u
124
125     def liebmann(self, tol=1e-8):
126         k = 0
127         while True:
128             Rm = 0.0
129             k += 1
130             for j in range( self.J + 1):
131                 for i in range( self.I + 1):
132                     #sprawdzic jaki to punkt
133                     if not isinstance( self.st[j][i], metal):
134                         v = self.st[j][i].u
135                         self.st[j][i].u = self.calc( i, j)
136                         R = np.abs(self.st[j][i].u - v)
137                         if Rm < R:
138                             Rm = R
139                     if Rm < tol:
140                         break
141         return k
142
143     def liebmann-quater(self, tol=1e-8):
144         k = 0
145         for j in range( self.J/2 + 1):
146             self.st[j][self.I/2+1] = imaginary( self.st[j][self.I/2-1])
147         for i in range( self.I/2 + 1):
148             self.st[self.J/2+1][i] = imaginary( self.st[self.J/2-1][i])
149         while True:
150             Rm = 0.0
151             k += 1
152             for j in range( self.J/2+1):
153                 for i in range( self.I/2+1):
154                     #sprawdzic jaki to punkt
155                     if not ( isinstance( self.st[j][i], metal) and \
156                         isinstance( self.st[j][i], imaginary)):
157                         v = self.st[j][i].u
158                         self.st[j][i].u = self.calc( i, j)
159                         R = np.abs(self.st[j][i].u - v)
160                         if Rm < R:
161                             Rm = R
162                     if Rm < tol:
163                         break
164         for j in range( self.J + 1):
165             for i in range( self.I + 1):
166                 if j < self.J / 2 + 1 and i > self.I / 2:
167                     self.st[j][i] = self.st[j][self.I - i]
168                 elif j > self.J / 2:
169                     self.st[j][i] = self.st[self.J - j][i]
170         return k
171
172     def impedance( self):
173         Eyt = [float for x in xrange( self.I+1)]
174         Eyd = [float for x in xrange( self.I+1)]
175         Exl = [float for x in xrange( self.J+1)]
176         Exr = [float for x in xrange( self.J+1)]
177
178         for j in range( self.J + 1):
179             # left boundary
180             d1 = ( self.st[j][0].q * self.xstep)
181             d2 = d1 + ( self.st[j][1].q * self.xstep)
182             e1st = ( self.st[j][1].u - self.st[j][0].u) / d1
183             e2nd = ( self.st[j][2].u - self.st[j][0].u) / d2
184             Exl[j] = e1st + ( ( e1st - e2nd) / ( ( d2 / d1) - 1))
185             # right boundary

```

```

186         d1 = ( self.st[j][self.I-1].q * self.xstep)
187         d2 = d1 + ( self.st[j][self.I-2].q * self.xstep)
188         elst = ( self.st[j][self.I-1].u - self.st[j][self.I-0].u) / d1
189         e2nd = ( self.st[j][self.I-2].u - self.st[j][self.I-0].u) / d2
190         Exr[j] = elst + ( ( elst - e2nd) / ( ( d2 / d1) - 1))
191
192     for i in range( self.I + 1):
193         # lower boundary
194         d1 = ( self.st[0][i].p * self.xstep)
195         d2 = d1 + ( self.st[1][i].p * self.xstep)
196         elst = ( self.st[1][i].u - self.st[0][i].u) / d1
197         e2nd = ( self.st[2][i].u - self.st[0][i].u) / d2
198         Eyd[i] = elst + ( ( elst - e2nd) / ( ( d2 / d1) - 1))
199         # upper boundary
200         d1 = ( self.st[self.J-0][i].r * self.xstep)
201         d2 = d1 + ( self.st[self.J-1][i].r * self.xstep)
202         elst = ( self.st[self.J-1][i].u - self.st[self.J-0][i].u) / d1
203         e2nd = ( self.st[self.J-2][i].u - self.st[self.J-0][i].u) / d2
204         Eyt[i] = elst + ( ( elst - e2nd) / ( ( d2 / d1) - 1))
205
206     E = integ.simps( Exl, None, self.ystep) + \
207         integ.simps( Exr, None, self.ystep) + \
208         integ.simps( Eyt, None, self.xstep) + \
209         integ.simps( Eyt, None, self.xstep)
210     # print 'Exl = {}; Exr = {}; Eyt = {}; Eyb = {}' \
211     # .format( integ.simps( Exl, None, self.ystep), \
212     #         integ.simps( Exr, None, self.ystep), \
213     #         integ.simps( Eyt, None, self.xstep), \
214     #         integ.simps( Eyt, None, self.xstep))
215     # print 'E = {}'.format( E)
216     return np.sqrt( ( const.mu_0 * self.mu) / \
217                     ( const.epsilon_0 * self.eps)) * \
218                ( 1 / E)
219
220 def plot( self):
221     z = [[float for x in xrange(self.I+1)] for z in range(self.J+1)]
222     for j in range( self.J + 1):
223         for i in range( self.I + 1):
224             z[j][i] = self.st[j][i].u
225     cmap = plt.get_cmap( 'jet')
226     plt.imshow( z, origin='lower', interpolation='nearest', cmap=cmap)
227     plt.colorbar()
228     plt.show()

```

### A.3. pum/algorithms.py

```

1 import numpy as np
2
3 def newton_raphson( func, a, b, args=(), tol=1e-8):
4     """
5     Znajduje miejsce zerowe funkcji korzystajac z metody Newtona-Raphsona
6
7     Parameters
8     -----
9     func : function
10         Funkcja ktorej miejsce zerowe jest poszukiwane
11     a : float
12         Początek zakresu na którym szukane jest miejsce zerowe
13     b : float
14         Koniec zakresu na którym szukane jest miejsce zerowe
15     args : tuple, optional
16         Dodatkowe parametry przekazywane do funkcji
17     tol : float, optional
18         Dopuszczalny błąd znalezionego miejsca zerowego
19
20     Returns
21     -----
22     zero : float
23         Szacowana lokacja gdzie wartość funkcji wynosi 0.
24     """
25     ###
26     # Szukanie punktu startowego
27     ###
28     x0 = a * 1.0 # mnozenie przez 1.0 sprawia, ze zmienna staje sie float
29     delta_x = ( b - a) / 25
30     myargs = (x0,) + args
31     fval_min = np.abs( func( *myargs))
32     zero = x0
33     for x0 in np.arange( a, b, delta_x):

```

```

34         myargs = (x0,) + args
35         fval = np.abs( func( *myargs))
36         if fval < fval_min:
37             fval_min = fval
38             zero = x0
39
40     ###
41     # Wlasciwa metoda newtona
42     ###
43     delta_x = 1e-8
44     error = 1
45     while error > tol:
46         x = zero
47         fd1 = func( *(x - delta_x,) + args)
48         fd2 = func( *(x + delta_x,) + args)
49         fderiv = ( fd2 - fd1) / ( 2 * delta_x)
50         if fderiv == 0:
51             msg = "derivative_was_zero."
52             warnings.warn(msg, RuntimeWarning)
53         fval = func( *(x,) + args)
54         zero = x - ( fval / fderiv)
55         error = zero - x
56
57     return zero
58
59 def n_fun( q, tol=1e-19):
60     """
61     Zwraca wartosc N potrzebna do wyznaczenia modulu
62
63     Parameters
64     -----
65     q : float
66         stala modularna
67     tol : float, optional
68         dokladnosc
69
70     Returns
71     -----
72     n : float
73         Wartosc parametru N.
74     """
75     n = 0.0
76     old = -1.0
77     i = 1
78     while( n - old > tol):
79         old = n
80         n = old + q ** ( i * ( i - 1))
81         i = i + 1
82     return n
83
84 def d_fun( q, tol=1e-19):
85     """
86     Zwraca wartosc D potrzebna do wyznaczenia modulu
87
88     Parameters
89     -----
90     q : float
91         stala modularna
92     tol : float, optional
93         dokladnosc
94
95     Returns
96     -----
97     d : float
98         Wartosc parametru D.
99     """
100     d = 0.5
101     old = 0.0
102     i = 1
103     while( d - old > tol):
104         old = d
105         d = old + q ** ( i * i)
106         i = i + 1
107     return d
108
109 def k_int( k, tol=1e-8):
110     old = 0
111     k0 = k
112     k0p = np.sqrt( 1 - ( k ** 2))
113     k_int = ( 1 + k0) / ( 1 + k0p)
114     i = 1
115     while( k_int - old > tol):
116         old = k_int
117         k0 = ( 2 / ( 1 + k0 )) * np.sqrt( k0)

```



```
118         k0p = ( 2 / ( 1 + k0p)) * np.sqrt( k0p)
119         k_int = k_int * ( 1 + k0) / ( 1 + k0p)
120         i += 1
121     return k_int
```

## Bibliografia

- [1] S. Rośliniec, *Wybrane metody numeryczne z przykładami w zadaniach inżynierskich*, 2nd ed. Warszawa: Oficyna Wydawnicza Politechniki Warszawskiej, 2002.
- [2] —, *Liniowe obwody mikrofalowe. Metody Analizy i syntezy*, 1st ed. Warszawa: Wydawnictwo Komunikacji i Łączności, 1999.
- [3] —, *Algorytmy projektowania wybranych liniowych układów mikrofalowych*, 1st ed. Warszawa: Wydawnictwo Komunikacji i Łączności, 1987.